

第9章 真空中的稳恒磁场

§ 1 稳恒电流

§ 2 磁场 磁感应强度

§ 3 毕奥-萨法尔定律

§ 4 磁场的“高斯定理”和安培环路定理

§ 5 磁场对电流的作用

§ 6 磁场对运动电荷的作用

§ 1 稳恒电流

一、电流强度（复习）

电流：大量电荷的定向运动。

形成电流的两个基本条件：

- (1) 导体中存在自由电荷；
- (2) 导体中要维持一定的电场。

载流子：导体中承载电荷的粒子（例如，导体中的自由电子或正负离子）。

电流强度（ I ）：

$$I = \lim_{\Delta t \rightarrow 0} \frac{\Delta q}{\Delta t} = \frac{dq}{dt}$$

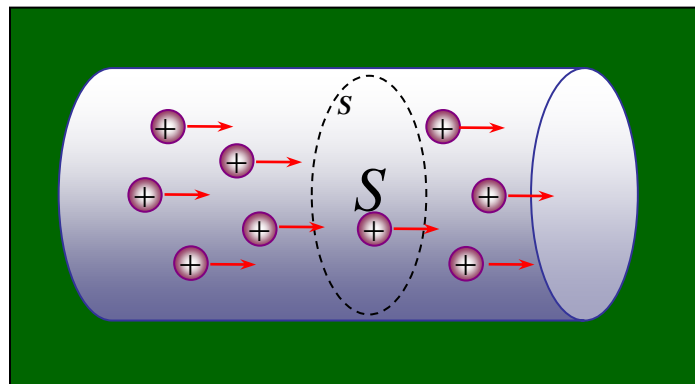
规定正电荷流动的方向为正方向。

单位：库仑/秒=安培

$$(CT^{-1}) = A$$

它是国际单位中的基本量。

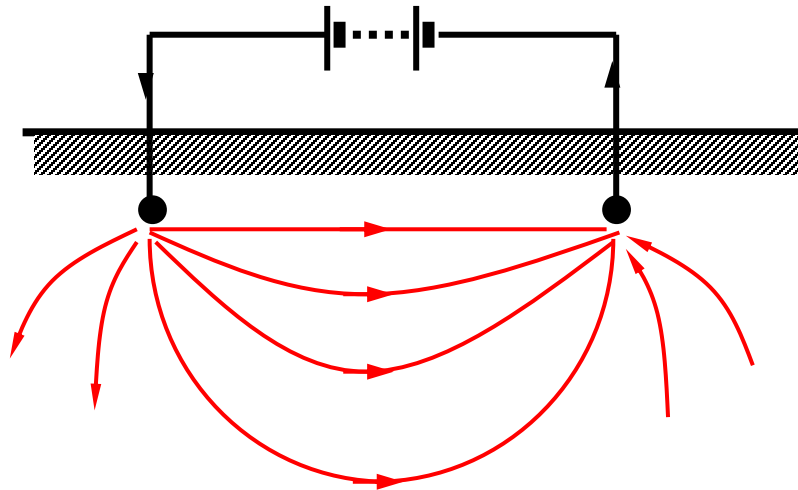
常用毫安(mA)、微安(μA)



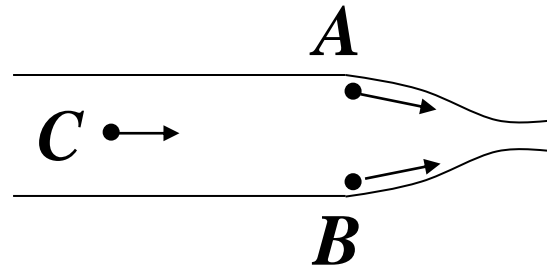
二、电流密度矢量 \vec{j}

例如:

电阻法探矿

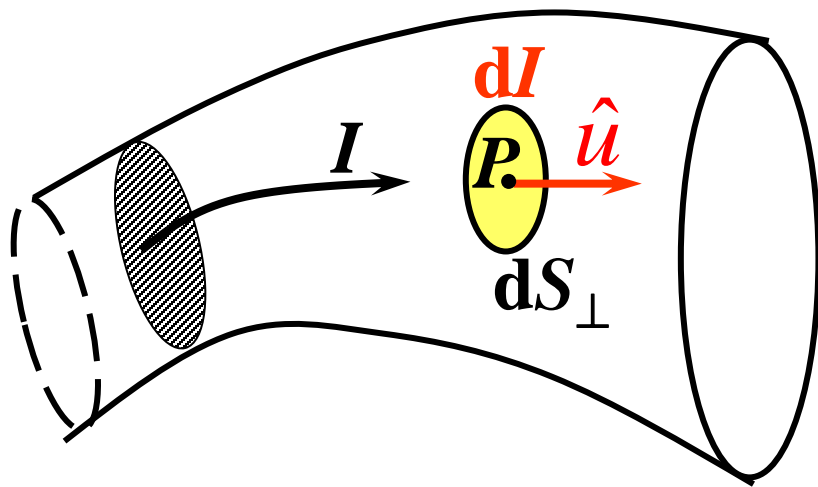


当通过任一截面的电量不均匀时



为描写导体内每一点的电流情况，需引入“电流密度矢量”的概念描写电流的分布。

1. 定义:



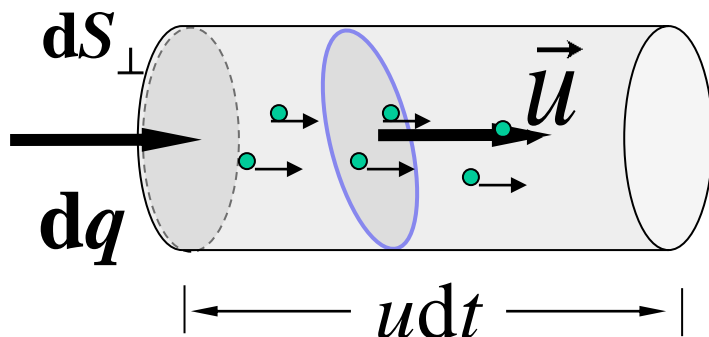
$$\vec{j} = \frac{dI}{dS_{\perp}} \hat{u}$$

大小: 该处垂直于载流子运动方向单位面积的电流强度

方向: 该处正载流子的运动方向

单位 A/m^2 量纲 $[j] = [L^{-3/2} M^{1/2} T^{-1}]$

2. \vec{j} 与微观量的关系:



设 n 为单位体积内正载流子的密度.

\vec{u} 为正载流子的定向移动速度

在 dt 时间内穿过 dS_{\perp} 面的正载流子数, 即电量为:

$$dq = q_0 n \cdot dS_{\perp} u \cdot dt$$

$$I = q_0 n u S \quad \therefore \vec{j} = q_0 n \vec{u}$$

若P点处载流子的速度不同：

设单位体积中，速度为 \vec{u}_i 的载流子数目为 n_i ，

$$\text{则 } \vec{j} = \sum_i \vec{j}_i = \sum_i n_i q_0 \vec{u}_i = n q_0 \frac{\sum_i n_i \vec{u}_i}{n} = n q_0 \langle \vec{u} \rangle$$

$\langle \vec{u} \rangle$ 为载流子平均定向流动速度，也叫“漂移速度”。

无外电场时，载流子作无规则热运动 $\langle \vec{u} \rangle = 0$

有外电场时，载流子作定向流动 $\langle \vec{u} \rangle \neq 0$

一般 $\langle \vec{u} \rangle$: $10^{-2} - 10^{-1} \text{ mm/s}$

例如, Cu导线 $n = 8.5 \times 10^{28}/\text{m}^3$, $j = 6\text{A}/\text{mm}^2$ 时,

$$\langle u \rangle = \frac{j}{nq_0} = \frac{6}{(8.5 \times 10^{28} / 10^9) 1.6 \times 10^{-19}} = 0.44 \text{mm/s}$$

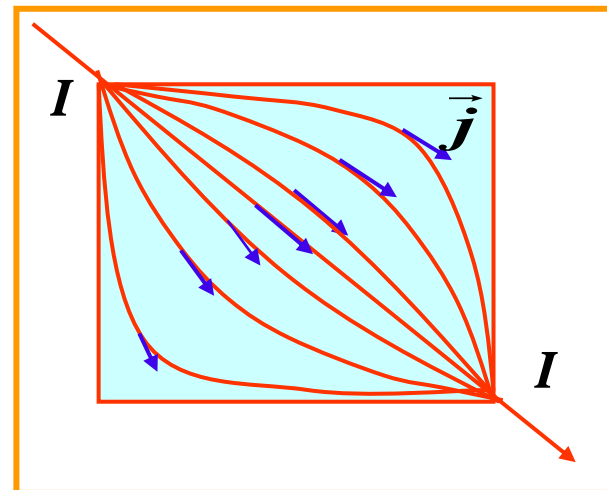
电流的传播速度是电场的传播速度 为光速 c

漂移速度 $u \ll c$

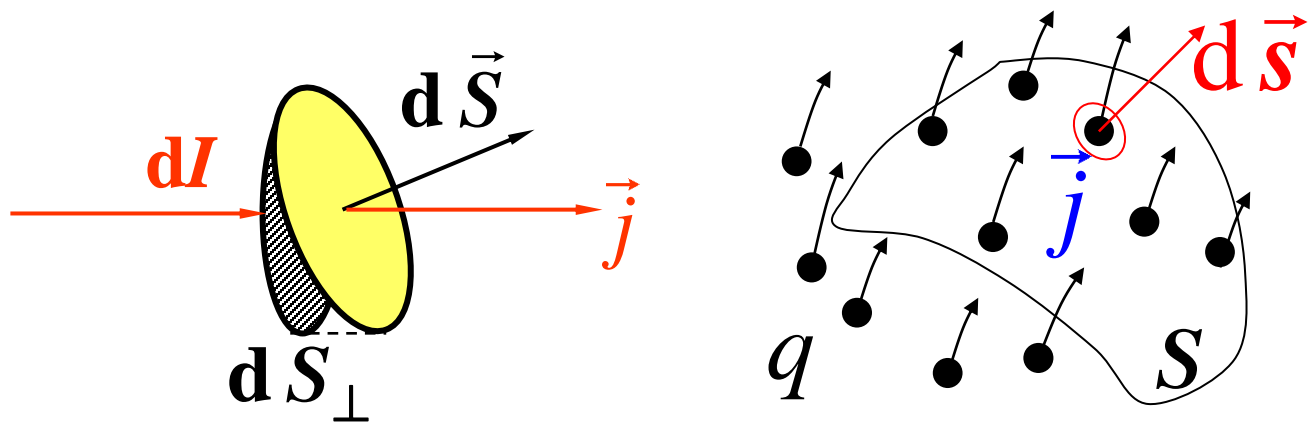
3. I 与 \vec{j} 的关系:

分布: 电流线

{ 其切向即 \vec{j} 方向
其疏密 $\propto \vec{j}$ 大小



◆对任意小面元 $d\vec{S}$ ， $dI = j dS_{\perp} = \vec{j} \cdot d\vec{S}$



◆对于有限大的面积 S :

$$I = \int dI = \iint_S \vec{j} \cdot d\vec{s}$$

即电流强度等于电流密度的通量。

◆ 对于一个封闭面S:

$$I = \oiint_S \vec{j} \cdot d\vec{s}$$

——净流出封闭面的电流强度

根据电荷守恒定律，单位时间净流出封闭面的电量等于单位时间内封闭面内减少的电量，有

$$\oiint_S \vec{j} \cdot d\vec{s} = -\frac{dq_{\text{内}}}{dt}$$

..... 电流的“连续性方程”

三、 稳恒电流与稳恒电场

\vec{j} 稳恒 \longrightarrow \vec{E} 稳恒 \longrightarrow 电荷分布不随时间变化

即对任一封闭面应满足 $\frac{dq_{\text{内}}}{dt} = 0$

即
$$\oiint_S \vec{j} \cdot d\vec{s} = 0$$

$$\oiint_S \vec{j} \cdot d\vec{s} = -\frac{dq_{\text{内}}}{dt}$$

.....“稳恒条件”

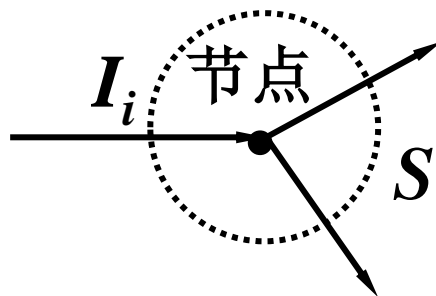
实验表明：稳恒电场和静电场的性质相同，也遵守静电场的高斯定理和环路定理。

稳恒电场与静电场的异同

| | 静电场 | 稳恒电场 |
|-----|--|---------------------------------------|
| 相同点 | 电荷分布 和 电场分布 都不随时间变化 | |
| | 都服从 高斯定理 和 环路定理 | |
| 不同点 | 激发静电场的电荷是 静止的 | 激发稳恒电场的电荷 是流动的（它们分布于 导体表面、不均匀处） |
| | 导体内部的静电场为零； 导体内没有电场线、 导体表面与电场线垂直 | 导体内部的稳恒电场 不为零；导线内有 电场线、且与导线平行 |
| | 维持静电场 不需要能量 | 维持稳恒电场 需要能量（转化） |

例 节点电流方程

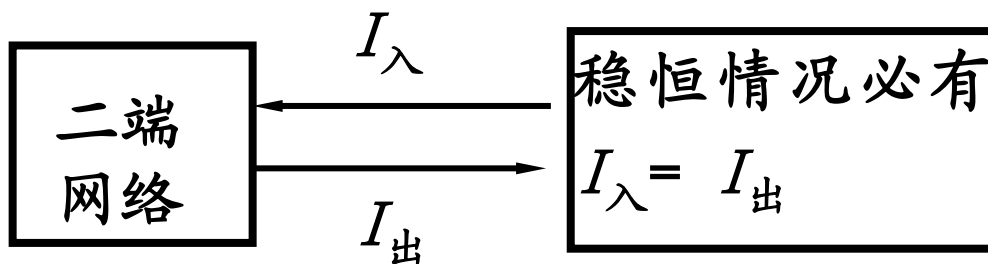
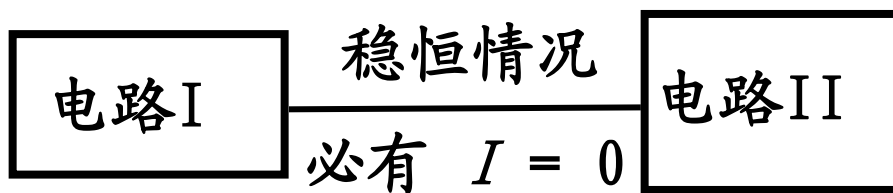
对电路的“节点”：



$$\oiint_S \vec{j} \cdot d\vec{S} = 0 \longrightarrow \sum_i I_i = 0 \quad i=1, 2, \dots$$

— 基尔霍夫第一定律

规定从节点流出： $I > 0$ ，流入节点： $I < 0$ 。

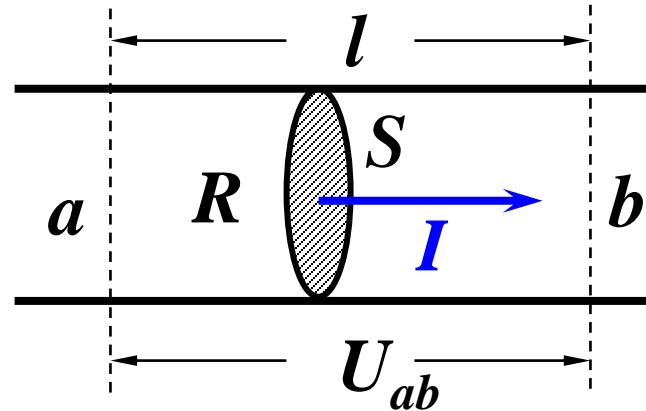


例 欧姆定律的微分形式

对一段均匀金属导体:

$$U_{ab} = IR$$

$$R = \rho \frac{l}{S} = \frac{l}{\sigma S}$$



ρ 电阻率 单位: $\Omega \cdot \text{m}$

$\gamma = \frac{1}{\rho}$ 电导率 (单位: $1/\Omega\text{m}$)

(西门子) $\frac{1}{\Omega} = S$

将欧姆定律用于导体中的一微小段，设导体中有电流 I 流过，某点P处的 \vec{j}, \vec{E} 如图所示。

取微小体积：长为 dl ，垂直 \vec{j} 的底面积为 ds ，

两端电压

$$U = V - (V + dV) = -dV$$

代入欧姆定律， $U = IR$

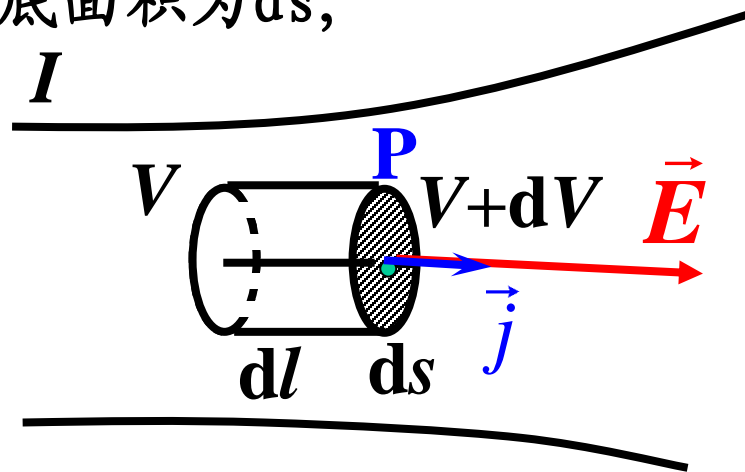
$$R = \frac{\rho dl}{dS}$$

$$I = jdS$$

$$-dV = \vec{E} \cdot d\vec{l}$$

$$\Rightarrow \therefore \vec{j} = \frac{1}{\rho} \vec{E}$$

$\vec{j} = \gamma \vec{E}$ （点对点）欧姆定律的微分形式



小结 欧姆定律与焦耳定律的微分形式

| | 欧姆定律 | 焦耳定律（自推） |
|------|------------------------------------|---------------------------------------|
| 积分形式 | $I = \frac{\Delta U}{R}$ | $Q = I^2 R \Delta t; \quad P = I^2 R$ |
| 微分形式 | 电流密度 $\vec{j} = \gamma \vec{E}$ | 热功率密度 $w = \gamma E^2$ |

电阻定律: $R = \rho \frac{L}{S}$

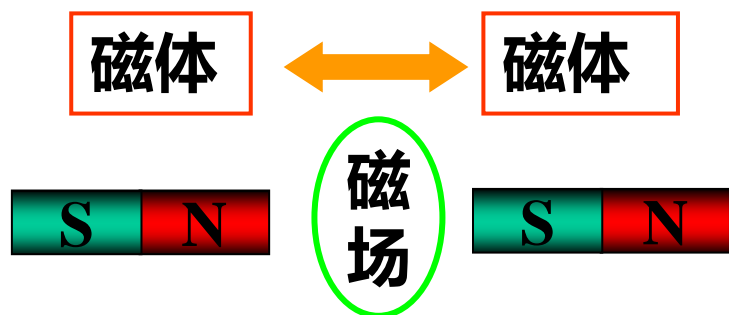
电阻率: ρ

电导率: $\gamma = \frac{1}{\rho}$

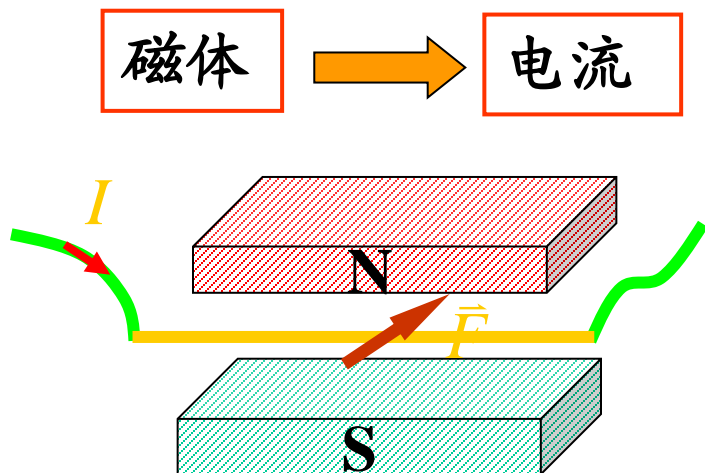
§ 2 磁场 磁感应强度

一、基本磁现象

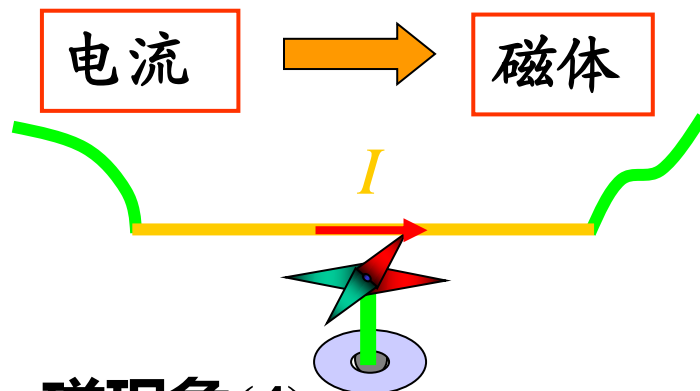
• 磁现象(1)



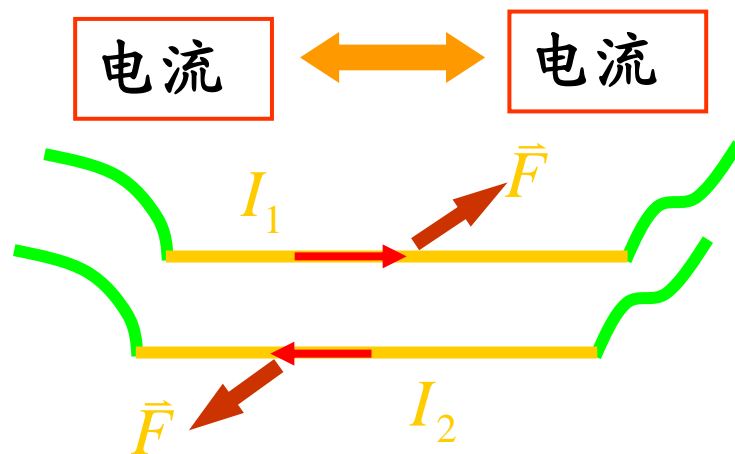
• 磁现象(3)



• 磁现象(2)



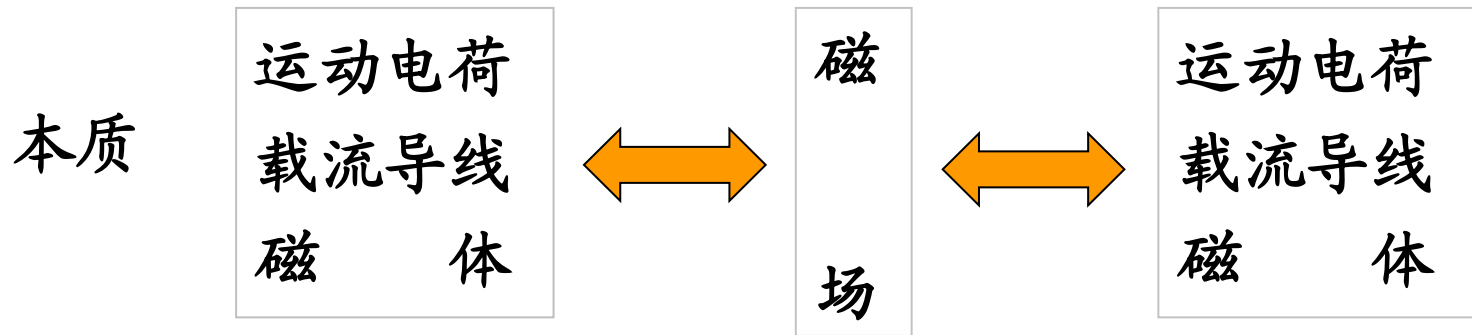
• 磁现象(4)



二、 磁场 磁感应强度

1. 磁场

安培提出：一切磁现象起源于电荷运动



磁场的性质

- (1) 对运动电荷(或电流)有力的作用
- (2) 磁场有能量

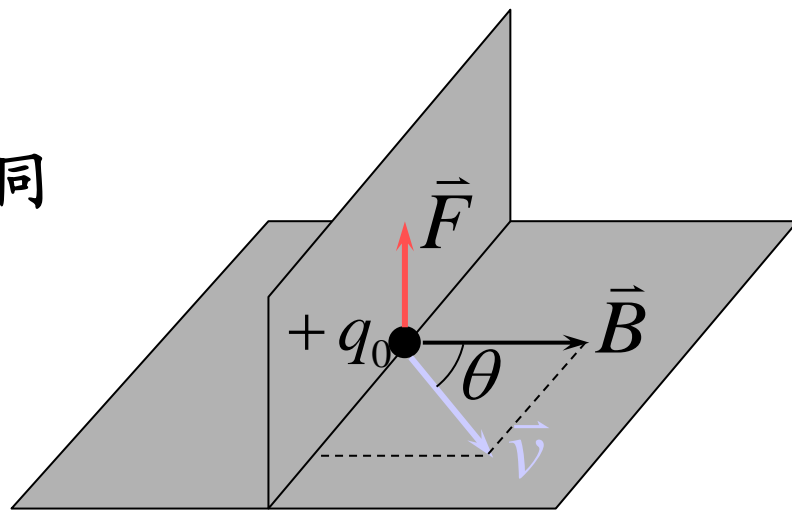
2.磁感应强度

实验:

(1) 点电荷 q_0 以同一速率 v 沿不同方向运动。

实验结果:

1. $\vec{F} \perp \vec{v}$
2. \vec{F} 的大小随 \vec{v} 而变化
3. 电荷 q_0 沿磁场方向运动时, $\vec{F} = 0$
4. 电荷 q_0 垂直磁场方向运动时, $\vec{F} = \vec{F}_{\max}$



(2) 在垂直于磁场方向改变运动电荷的速率 v ，改变点电荷的电量 q_0 。

实验结果：

1. 在磁场中同一场点， F_{\max}/q_0v 为一恒量；
2. 在磁场中不同场点， F_{\max}/q_0v 的量值不同。

定义磁感应强度 \vec{B} 的大小：

$$B = \frac{F_{\max}}{q_0 v}$$

国际单位：特斯拉 (T)

常用单位：高斯 (G)

$$1G = 10^{-4}T$$

➤ 说明

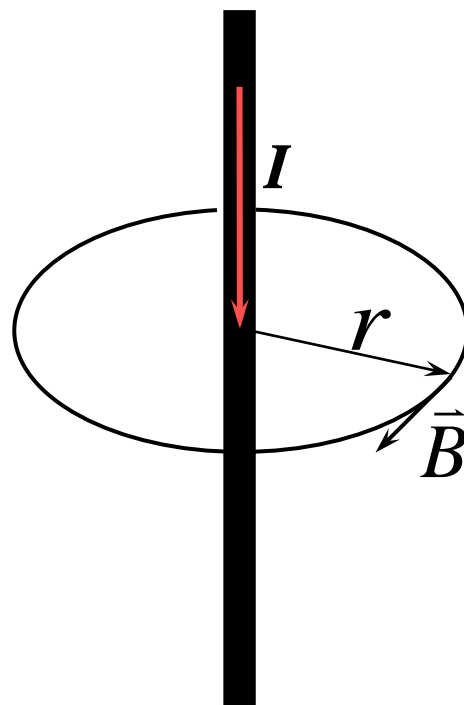
磁感应强度有各种定义方法，除上述方法外，我们还可以用电流元在磁场中的受力来定义。

§ 3 毕奥-萨伐尔-拉普拉斯定律

一、 毕奥-萨伐尔-拉普拉斯定律

1820年，毕奥和萨伐尔用实验的方法证明：长直载流导线周围的磁感应强度与距离成反比与电流强度成正比。

$$B \propto \frac{I}{r}$$



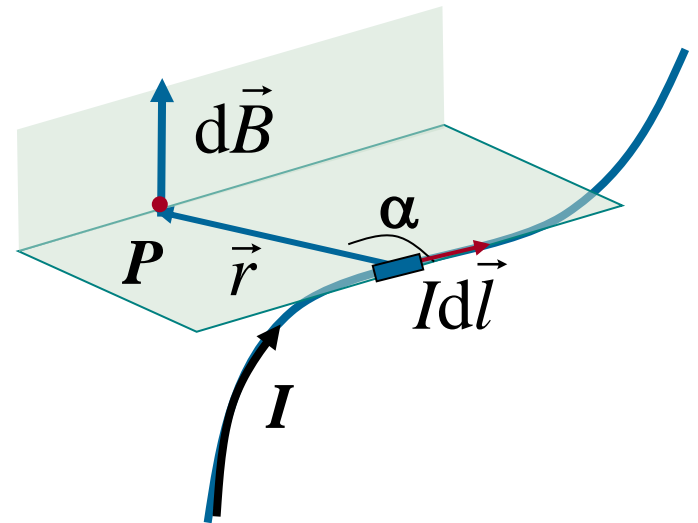
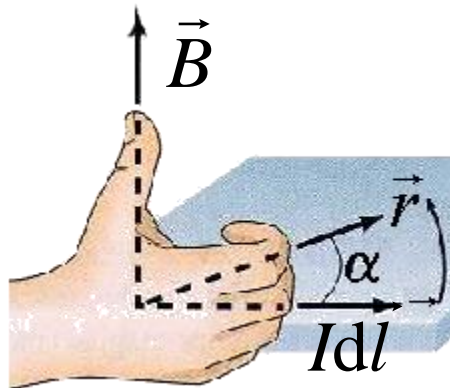
后经拉普拉斯分析总结，得出电流元 $Id\vec{l}$ 产生的磁感应强度

$$d\vec{B} = k \frac{Id\vec{l} \times \vec{r}}{r^3}$$

大小:

$$dB = k \frac{Idl r \sin \alpha}{r^3}$$

方向:



在SI制中: $k = \frac{\mu_0}{4\pi}$ $\mu_0 = 4\pi \times 10^{-7} \text{ N/A}^2$

$$d\vec{B} = k \frac{Id\vec{l} \times \vec{r}}{r^3}$$

$$d\vec{B} = \frac{\mu_0}{4\pi} \frac{Id\vec{l} \times \vec{r}}{r^3}$$

B 的单位: 特斯拉(T) $[B] = I^{-1}MT^{-2}$

一段载流导线 L 的磁场

由叠加原理: $\vec{B} = \int_L d\vec{B} = \int_L \frac{\mu_0}{4\pi} \frac{Id\vec{l} \times \vec{r}}{r^3}$

$$\left\{ \begin{array}{l} B_x = \int dB_x \\ B_y = \int dB_y \\ B_z = \int dB_z \end{array} \right.$$

毕—萨—
拉定律

+

叠加原理



原则上可以求得
任意电流的磁场

二、利用毕 - 萨 - 拉定律求解 \vec{B}

1、载流长直导线的磁场

条件: L 、 I 、 d 、 α_1 、 α_2

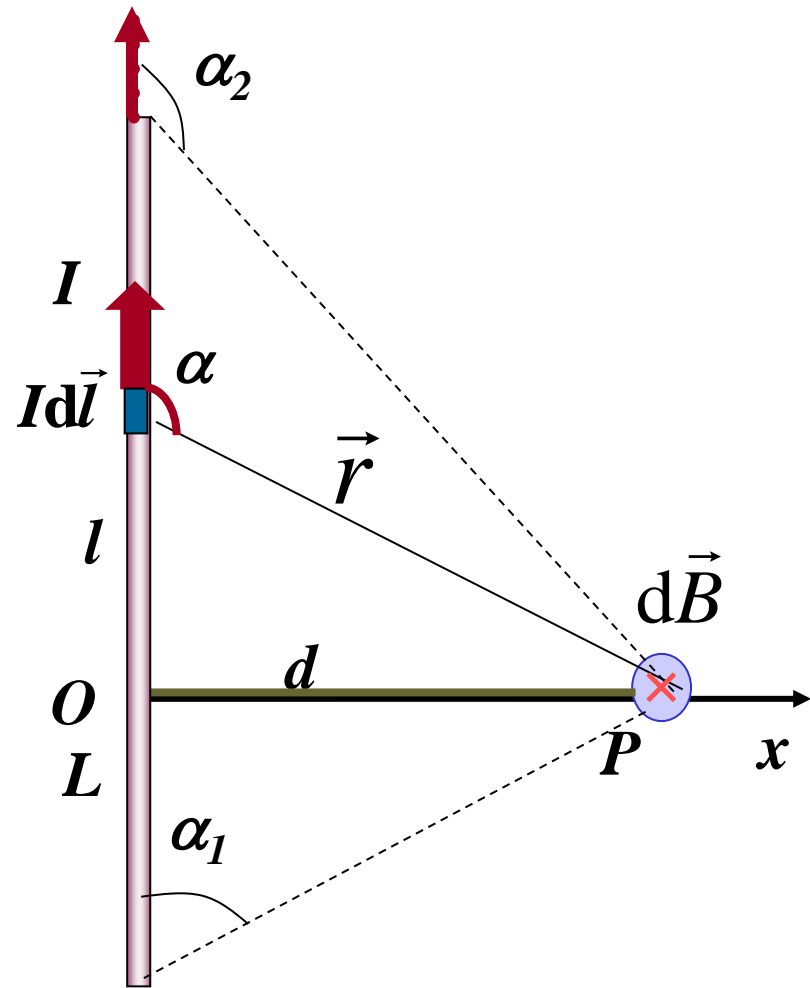
电流元的磁场:

$$d\vec{B} = \frac{\mu_0}{4\pi} \frac{Id\vec{l} \times \vec{r}}{r^3}$$

$$B = \int_L dB = \frac{\mu_0}{4\pi} \int_L \frac{Idl \sin \alpha}{r^2}$$

统一变量

$$r = d / \sin \alpha, l = -d \cot \alpha$$



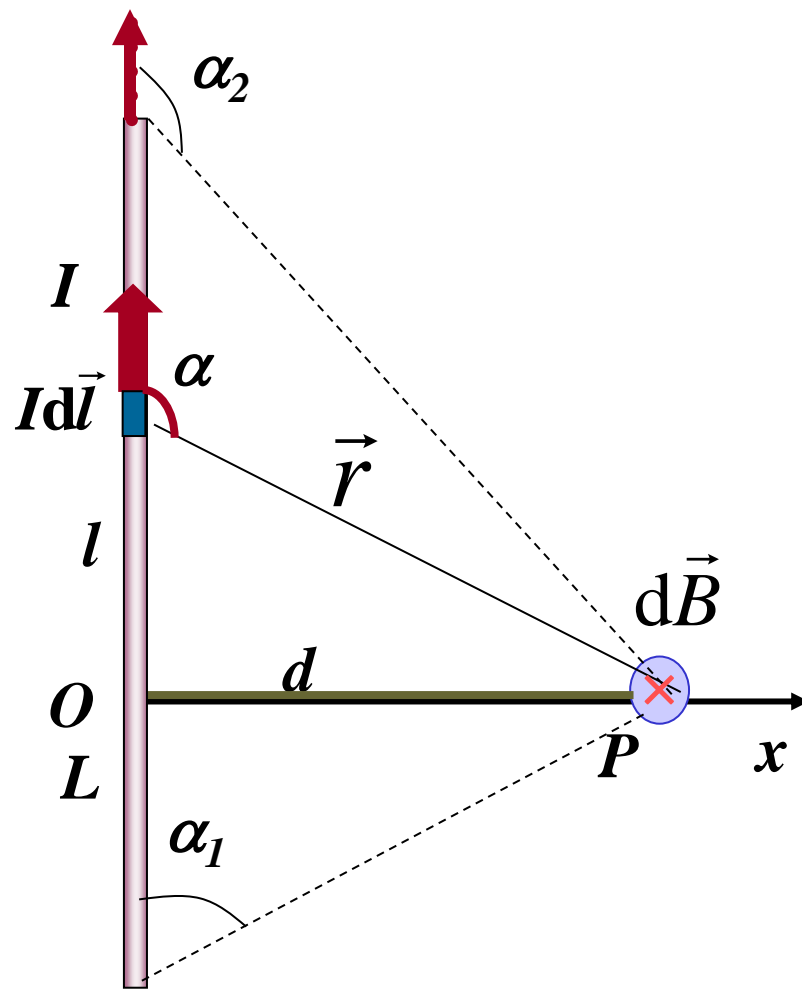
$$B = \int_L d\vec{B} = \frac{\mu_0}{4\pi} \int_L \frac{Id\vec{l} \sin \alpha}{r^2}$$

统一变量 $r=d/\sin\alpha$, $l = -d \operatorname{ctg} \alpha$

$$B = \frac{\mu_0 I}{4\pi} \int_L \frac{dl \sin \alpha}{r^2}$$

$$= \frac{\mu_0 I}{4\pi} \int_{\alpha_1}^{\alpha_2} \frac{\sin \alpha}{d} d\alpha$$

$$= \frac{\mu_0 I}{4\pi d} (\cos \alpha_1 - \cos \alpha_2)$$



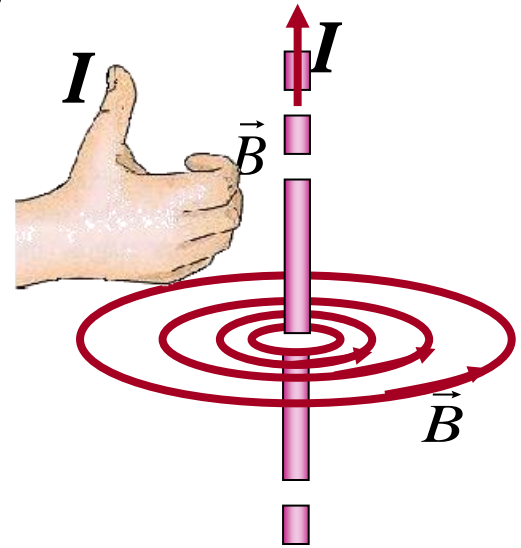
方向：直导线电流与各电流元的磁场同方向,与导线垂直。

$$B = \frac{\mu_0 I}{4\pi d} (\cos \alpha_1 - \cos \alpha_2)$$

讨论:

(1) $\alpha_1=0, \alpha_2=\pi$, 无限长载流直导线,

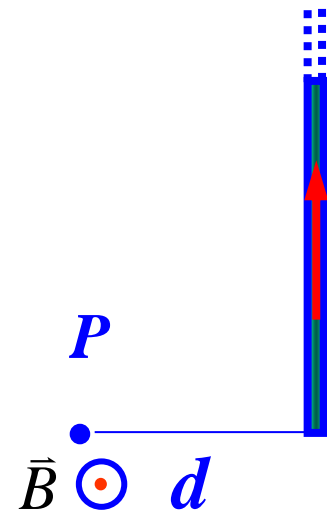
$$B = \frac{\mu_0 I}{2\pi d}$$



(2) 半无限长载流直导线

过半无限长载流直导线端点垂线上任意一点的磁场

$$B_2 = \frac{\mu_0 I}{4\pi d} (\cos 90^\circ - \cos 180^\circ) = \frac{\mu_0 I}{4\pi d}$$

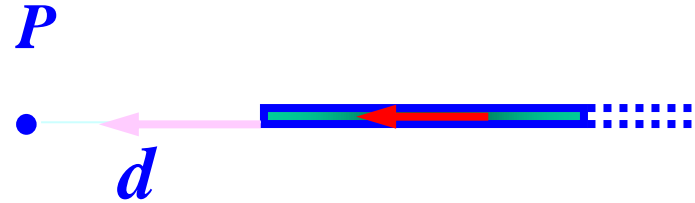


$$B = \frac{\mu_0 I}{4\pi d} (\cos \alpha_1 - \cos \alpha_2)$$

(2) 半无限长载流直导线

延长线上任意一点的磁场

$$B_1 = 0$$

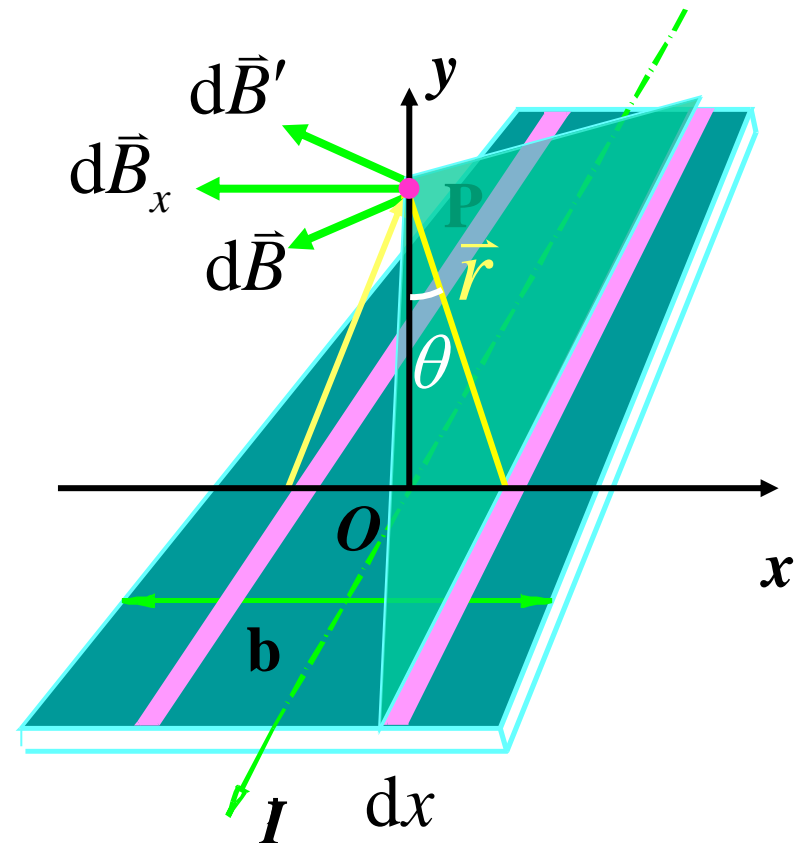


(3) 无限长载流平板中垂面上任一点的磁场

解
$$dI = \frac{Idx}{b}$$

$$dB = \frac{\mu_0 dI}{2\pi r} = \frac{\mu_0 Idx}{2\pi b y \sec \theta}$$

$$B_P = B_x = \int dB_x$$



$$dB = \frac{\mu_0 dI}{2\pi r} = \frac{\mu_0 I dx}{2\pi b y \sec \theta}$$

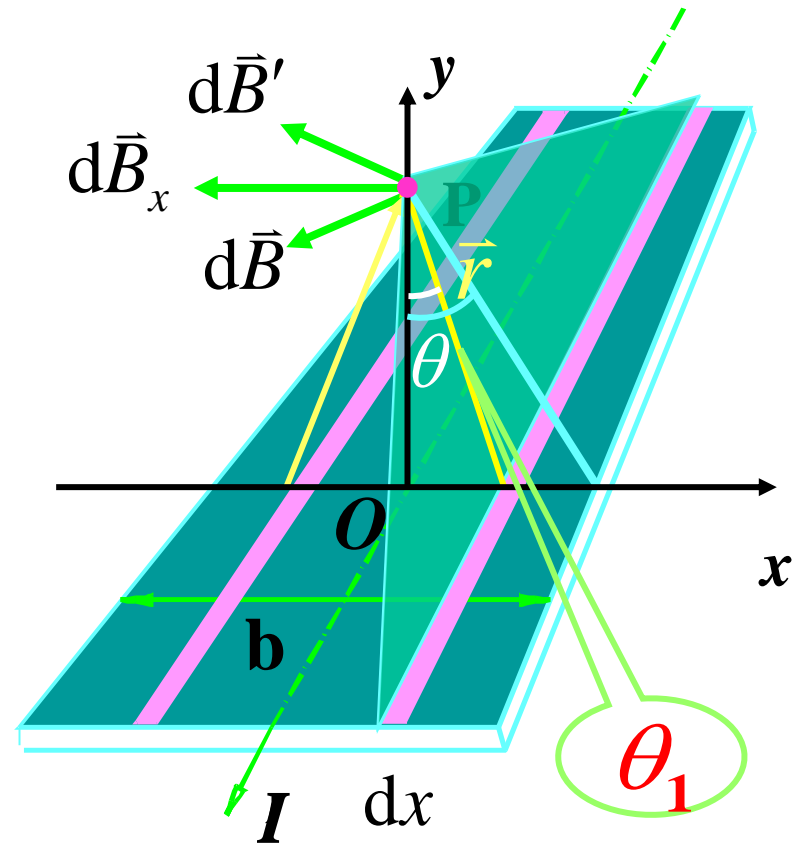
$$B_P = B_x = \int dB_x = \int dB \cos \theta$$

$$= 2 \int_0^{\frac{b}{2}} \frac{\mu_0 I}{2\pi b y \sec^2 \theta} dx$$

$$dx = y \sec^2 \theta d\theta$$


$$\theta_1 = \arctan \frac{b}{2y}$$

$$B_P = \frac{\mu_0 I}{\pi b} \int_0^{\theta_1} d\theta = \frac{\mu_0 I}{\pi b} \arctan \frac{b}{2y}$$




讨论:

$$B_p = \frac{\mu_0 I}{\pi b} \arctan \frac{b}{2y}$$

(1) $y \gg b$  $\arctan \frac{b}{2y} \approx \frac{b}{2y}$

$$B_p \approx \frac{\mu_0 I b}{2y \pi b} = \frac{\mu_0 I}{2\pi y}$$

无限长载流直导线

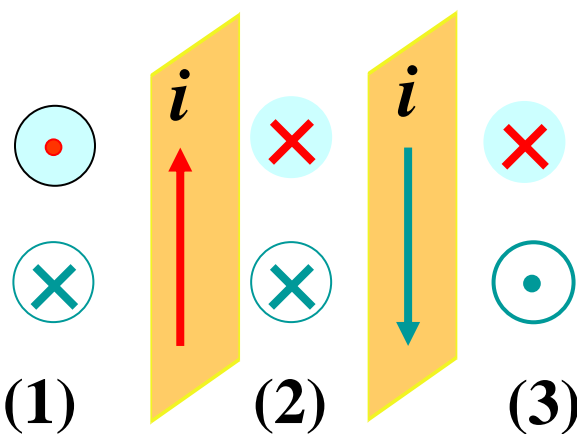
(2) $y \ll b$  $\arctan \frac{b}{2y} \approx \frac{\pi}{2}$

无限大板

$$B_p \approx \frac{\mu_0 I \pi}{2\pi b} = \frac{\mu_0 I}{2b} = \frac{1}{2} \mu_0 i$$

$$B_1 = B_3 = 0 \quad B_2 = \mu_0 i$$

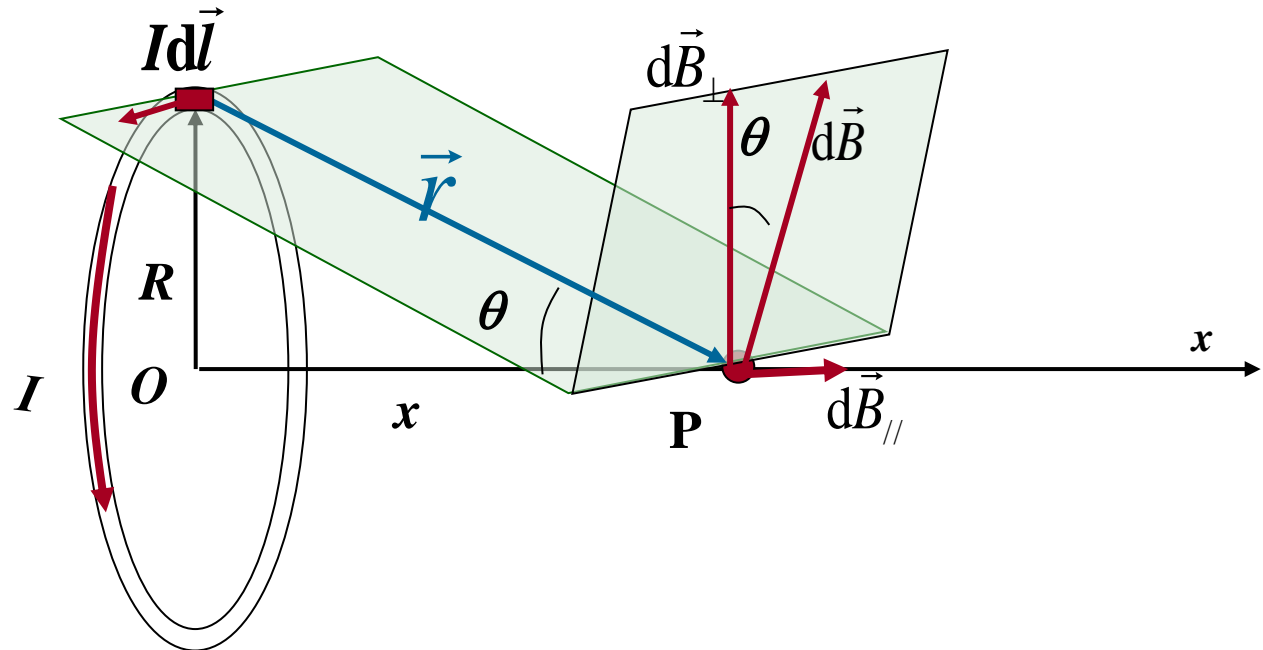
磁屏蔽



2、载流线圈轴线上的磁场

载流圆线圈如图：

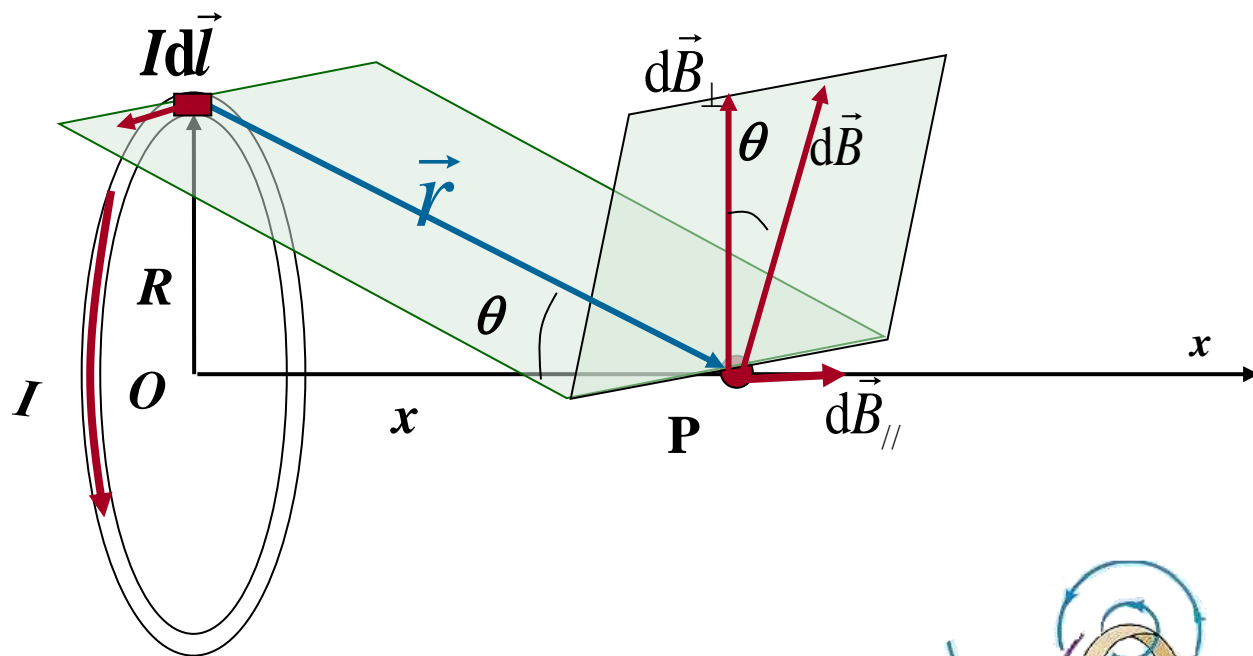
已知 I 、 R 、 x 。



电流元的磁场：

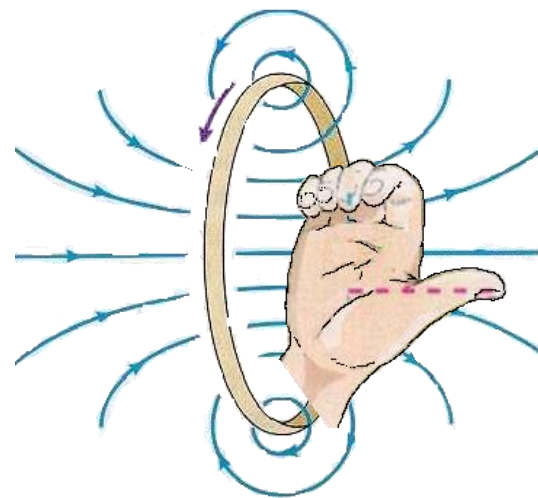
$$d\vec{B} = \frac{\mu_0}{4\pi} \frac{I d\vec{l} \times \vec{r}}{r^3} \qquad dB = \frac{\mu_0}{4\pi} \frac{Idl}{r^2}$$

$d\vec{B}$ 的方向垂直于电流元和 r 组成的平面



合磁场:
$$B = \int_L d\vec{B}_{\parallel} = \int_L \frac{\mu_0}{4\pi} \frac{Idl}{r^2} \sin \theta$$

$$= \frac{\mu_0 I \sin \theta}{4\pi r^2} \int_L dl = \frac{\mu_0 IR \sin \theta}{2r^2}$$



方向: 沿轴线, 与 I 满足右手螺旋法则。

$$\sin \theta = \frac{R}{r}$$

$$r = \sqrt{R^2 + x^2}$$

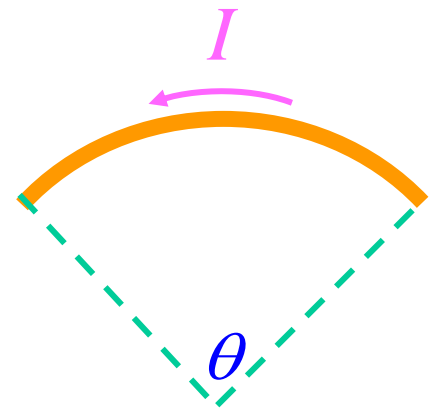
$$B = \frac{\mu_0 I R \sin \theta}{2(R^2 + x^2)} = \frac{\mu_0}{2} \frac{IR^2}{(R^2 + x^2)^{3/2}}$$

讨论:

(1) $x=0$, 圆心处 $B_o = \frac{\mu_0 I}{2R}$ 重要的结论!

推广: 一段圆弧电流圆心处的磁感应强度

$$B_o = \frac{\mu_0 I}{2R} \cdot \frac{\theta}{2\pi}$$



$$B = \frac{\mu_0 I R \sin \theta}{2(R^2 + x^2)} = \frac{\mu_0}{2} \frac{IR^2}{(R^2 + x^2)^{3/2}}$$

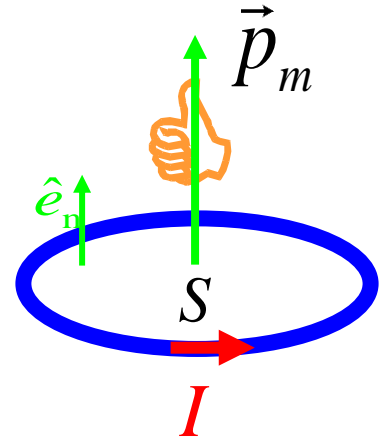
(2) $x \gg R$ 轴线上的磁感应强度

$$B \approx \frac{\mu_0 IR^2}{2x^3} = \frac{\mu_0 IS}{2\pi x^3}$$

引入线圈的磁矩:

$$\vec{p}_m = IS\hat{e}_n$$

$$\vec{B} = \frac{\mu_0}{2\pi} \frac{\vec{p}_m}{x^3}$$



如果线圈有 N 匝, 则磁矩: $\vec{p}_m = NIS\hat{e}_n$

磁偶极磁场: 圆电流产生的磁场。

3、载流直螺线管内部的磁场

载流直螺线管单位长匝数
 n . 求管中轴线任一点的磁
感应强度?

纵剖面如图,

已知 I 、 n 、 R 、 L 、 β_1 、 β_2

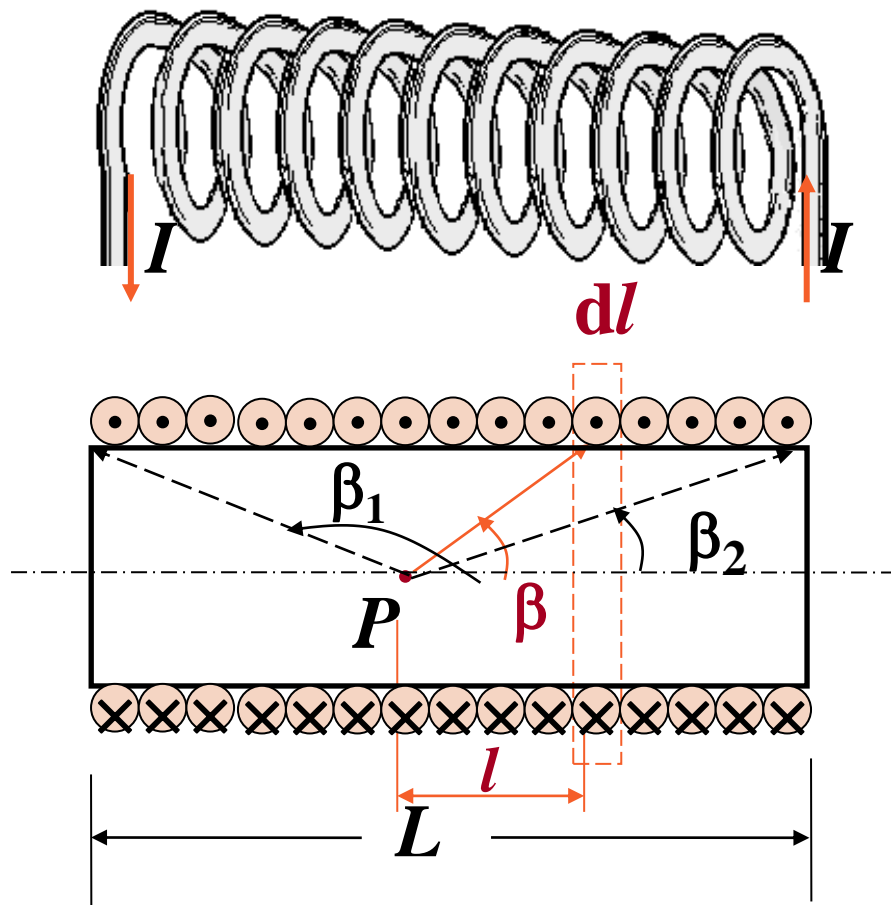
取圆环形电流元, $dI = nI dl$:

圆电流

$$B = \frac{\mu_0 IS}{2\pi r^3}$$

电流元磁场方向沿轴线

$$dB = \frac{\mu_0}{2} \frac{R^2 I n dl}{(R^2 + l^2)^{3/2}}$$

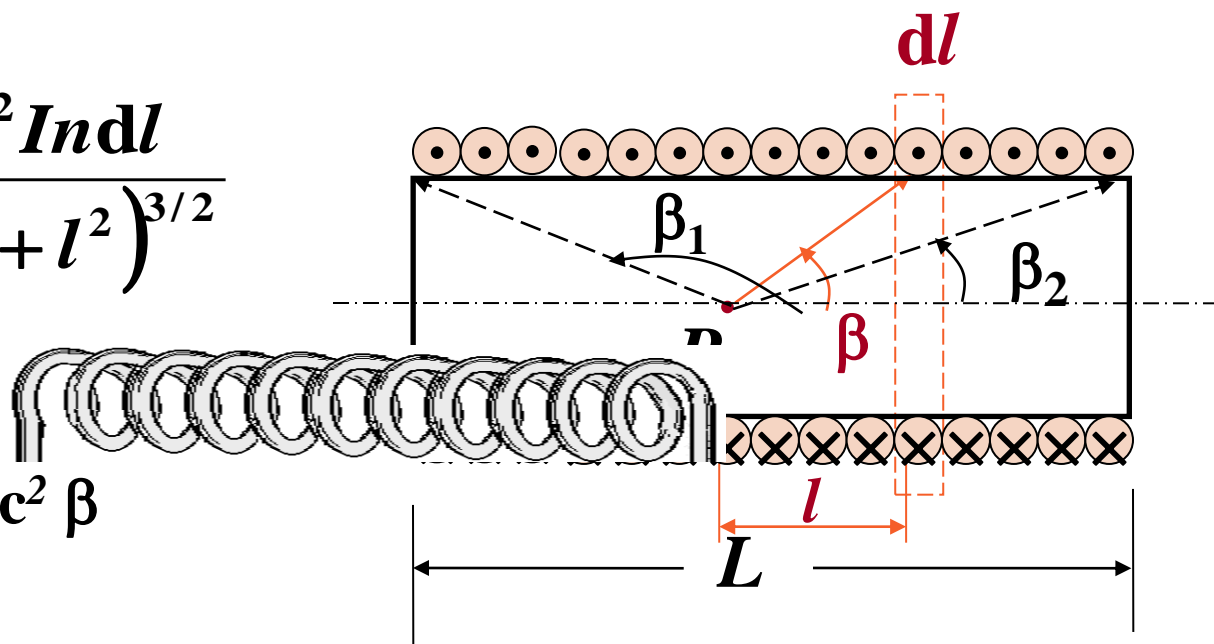


$$dB = \frac{\mu_0}{2} \frac{R^2 I n dl}{(R^2 + l^2)^{3/2}}$$

换用角量:

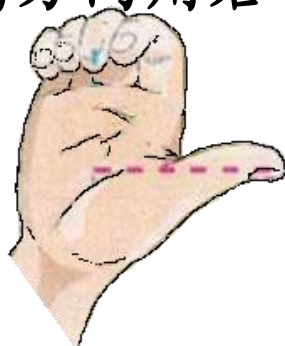
$$l = R \cot \beta, \quad dl = R \csc^2 \beta$$

$$R^2 + l^2 = R^2 \csc^2 \beta$$



$$B = \frac{\mu_0}{2} nI \int (-\sin \beta) d\beta = \frac{\mu_0}{2} nI (\cos \beta_2 - \cos \beta_1)$$

方向: 螺线管内磁场的方向用右手判断.



结果:
$$B = \frac{\mu_0 n I}{2} (\cos \beta_2 - \cos \beta_1)$$

讨论:

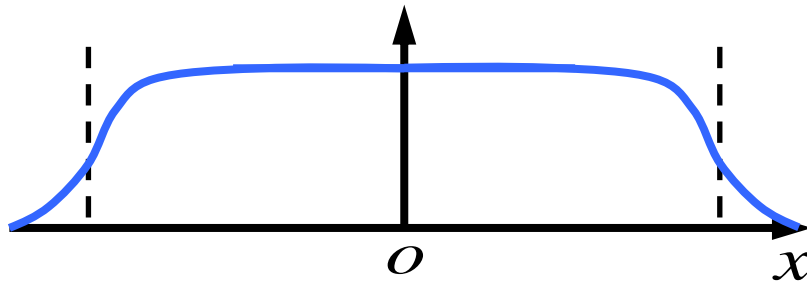
(1) $\beta_1 \rightarrow \pi, \beta_2 \rightarrow 0$, 螺线管无限长, 轴线上的磁场:

$$B = \mu_0 n I \quad \text{重要的结论!}$$

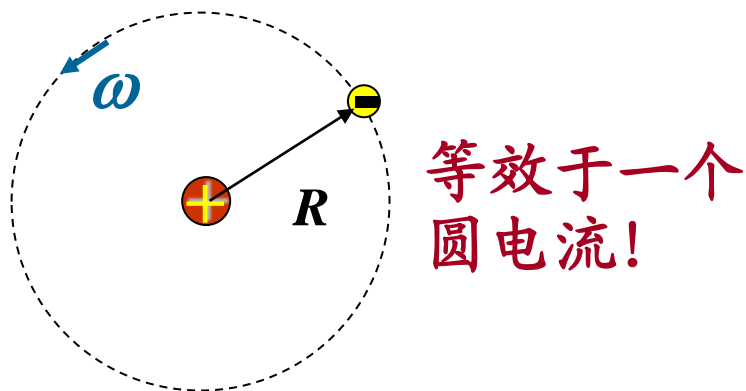
(2) $\beta_1 \rightarrow \pi/2, \beta_2 \rightarrow 0$, 半无限长载流螺线管端点

$$B = \frac{1}{2} \mu_0 n I$$

长直螺线管轴线上各处的磁场大小变化如图所示。



4、运流产生的磁场-----一种重要的情形



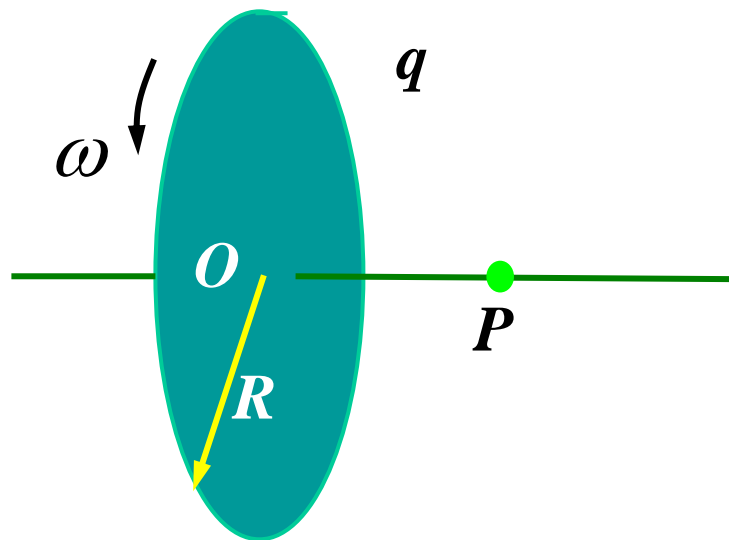
等效电流 $I = \frac{e}{2\pi R} \cdot v = \frac{e}{2\pi R} \cdot R\omega = \frac{\omega}{2\pi} \cdot e$

或 $I = e \cdot \nu = e \cdot \frac{\omega}{2\pi}$ (ν 为回转频率)

圆心处: $B = \frac{\mu_0 I}{2R} = \frac{\mu_0 e \omega}{4\pi R}$

例 半径为 R 的均匀带电圆盘，带电为 $+q$ ，圆盘以匀角速度 ω 绕通过圆心垂直于圆盘的轴转动。

求：圆盘轴线上的磁场和圆盘的磁矩？



解 $dq = \sigma \cdot 2\pi r dr$ $\sigma = q / \pi R^2$

$$dI = \frac{\omega}{2\pi} dq = \omega \sigma r dr$$

$$dB = \frac{\mu_0 r^2 dI}{2(r^2 + x^2)^{3/2}} = \frac{\mu_0 \sigma \omega r^3 dr}{2(r^2 + x^2)^{3/2}}$$

$$B = \int dB = \frac{\mu_0 \sigma \omega}{2} \left[\frac{R^2 + 2x^2}{\sqrt{x^2 + R^2}} - 2x \right]$$

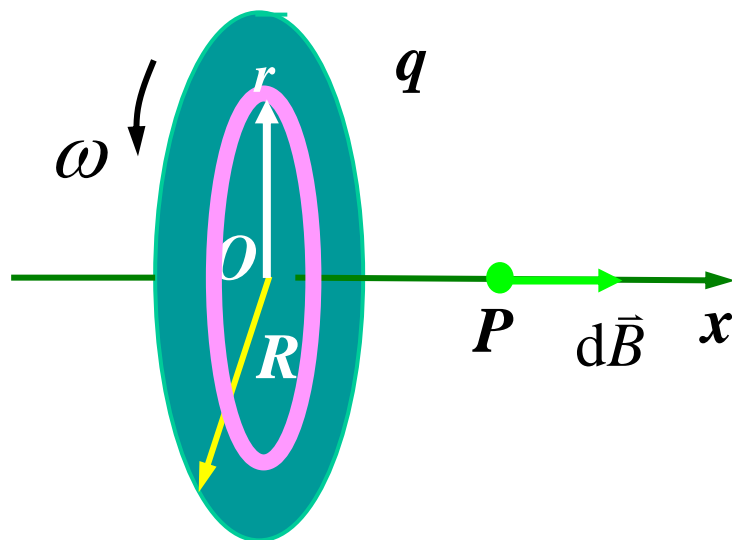
圆盘圆心处,

$$x=0 \quad B = \frac{\mu_0 \sigma \omega}{2} R$$

圆盘的磁矩

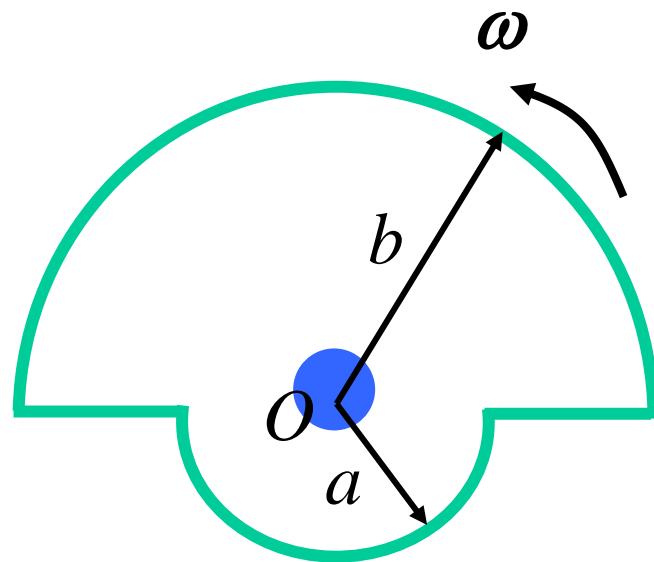
$$dp_m = \pi r^2 dI = \pi r^3 \omega \sigma dr$$

$$p_m = \int dp_m = \int_0^R \pi r^3 \sigma \omega dr = \frac{\pi \omega \sigma R^4}{4}$$



方向沿 x 轴正向

**例 如图的均匀带电曲线，已知电荷线密度为 λ ，
当绕 O 点以 ω 转动时，求 O 点的磁感应强度。**



解 线段1: $dq = \lambda dl = \lambda b d\theta$

$$dB_1 = \frac{\mu_0}{4\pi} \frac{dq \cdot \omega b}{b^2} = \frac{\mu_0 \lambda \omega}{4\pi} d\theta$$

$$B_1 = \int_0^\pi \frac{\mu_0 \lambda \omega}{4\pi} d\theta = \frac{1}{4} \mu_0 \lambda \omega$$

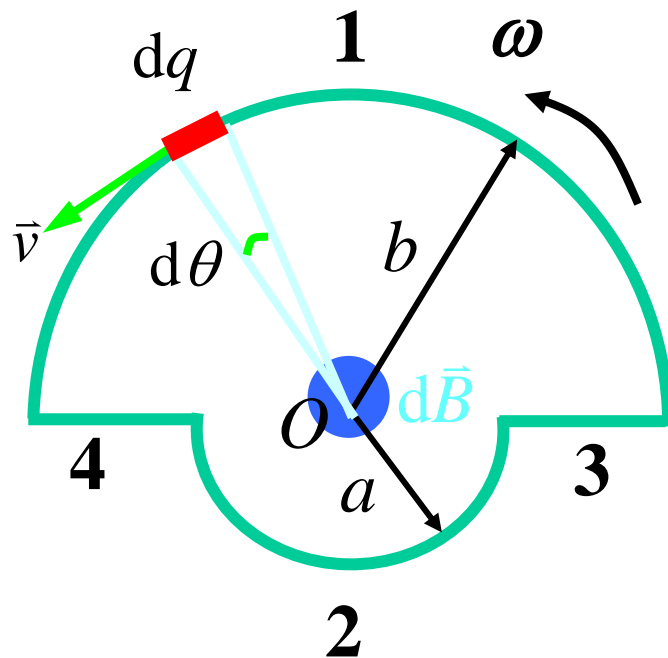
线段2: 同理 $B_2 = \frac{1}{4} \mu_0 \lambda \omega$

线段3: $dq = \lambda dr$

$$dB_3 = \frac{\mu_0}{4\pi} \frac{\lambda dr \cdot \omega r}{r^2} = \frac{\mu_0 \lambda \omega}{4\pi r} dr \quad B_3 = \int_a^b \frac{\mu_0 \lambda \omega}{4\pi r} dr = \frac{\mu_0 \lambda \omega}{4\pi} \ln \frac{b}{a}$$

线段4: 同理 $B_4 = \frac{\mu_0 \lambda \omega}{4\pi} \ln \frac{b}{a}$

$$B = B_1 + B_2 + B_3 + B_4 = \frac{1}{2} \left(1 + \frac{1}{\pi} \ln \frac{b}{a} \right) \mu_0 \lambda \omega$$



5、运动电荷产生的磁场

$$d\vec{B} = \frac{\mu_0}{4\pi} \frac{Id\vec{l} \times \vec{r}}{r^3}$$

电流强度

$$I = nqvS$$

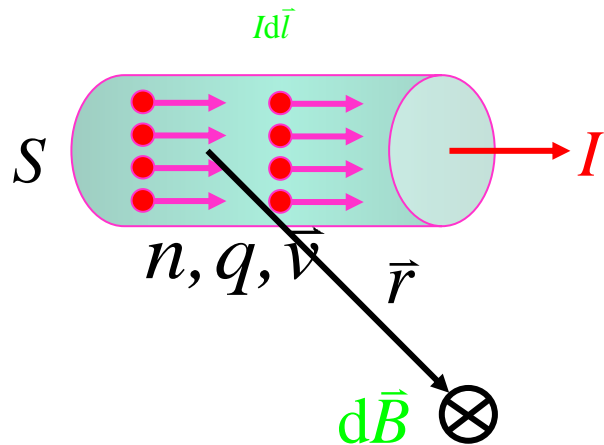
$$Idl = nqvSdl = qvdN$$

$$Id\vec{l} = q\vec{v}dN$$

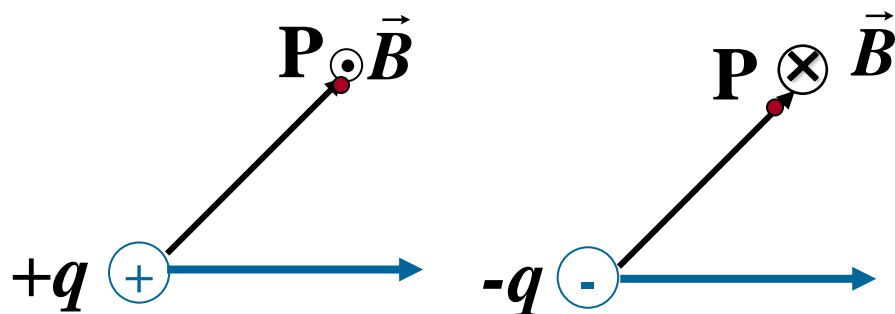
$$d\vec{B} = \frac{\mu_0}{4\pi} \frac{q\vec{v} \times \vec{r}}{r^3} dN$$

一个电荷产生的磁场

$$\vec{B} = \frac{d\vec{B}}{dN} = \frac{\mu_0}{4\pi} \frac{q\vec{v} \times \vec{r}}{r^3}$$



简化的电流模型



运动的电荷产生磁场, 同时也产生电场.

小结

1、电场与磁场的对比

电场

场源: 电荷 q

电荷元 dq

$$d\vec{E} = \frac{1}{4\pi\epsilon_0} \frac{dq\vec{r}}{r^3}$$

场量: \vec{E}

叠加原理: $\vec{E} = \int d\vec{E}$

磁场

电流 I

电流元 $Id\vec{l}$

$$d\vec{B} = k \frac{Id\vec{l} \times \vec{r}}{r^3}$$

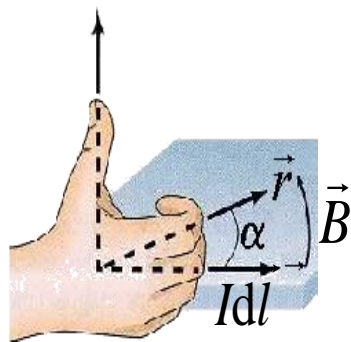
\vec{B}

$$\vec{B} = \int d\vec{B}$$

基本思路: $I \xrightarrow{\quad} Id\vec{l} \xrightarrow{\quad} d\vec{B} \xrightarrow{\quad} \vec{B} = \int d\vec{B}$

2、毕奥-萨伐尔-拉普拉斯定律:电流元产生的磁感应强度:

$$d\vec{B} = \frac{\mu_0}{4\pi} \frac{Id\vec{l} \times \vec{r}}{r^3} \quad \text{方向的判断是重点!}$$



3、毕奥-萨伐尔定律的应用:

★直线电流: 有限长=>无限长 $B = \frac{\mu_0 I}{2\pi d}$

★圆电流: 圆心处 $B_o = \frac{\mu_0 I}{2R}$

★载流长直螺线管: $B = \mu_0 n I$

★运流电流: 等效电流 $I = q \cdot v = q \cdot \frac{\omega}{2\pi}$

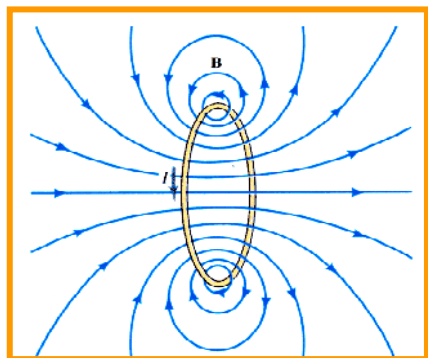
圆心处: $B = \frac{\mu_0 I}{2R} = \frac{\mu_0 q \omega}{4\pi R}$

4、运动电荷产生的磁场 $\vec{B} = \frac{\mu_0}{4\pi} \frac{q\vec{v} \times \vec{r}}{r^3}$

§ 4 磁场的“高斯定理”和安培环路定理

一、磁场的高斯定理

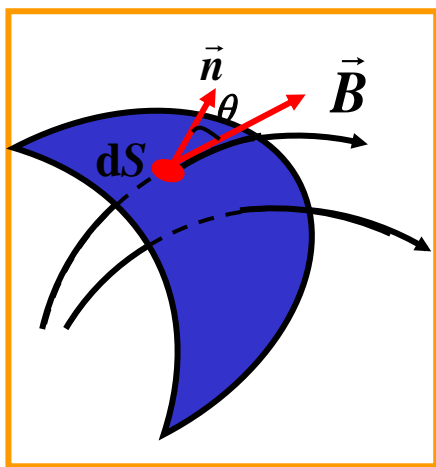
1. 磁感应线 { 切向: 该点 \vec{B} 方向
疏密: 正比于该点 \vec{B} 的大小



特点 { 闭合, 或两端伸向无穷远;
与载流回路互相套联;
互不相交.

2. 磁通量

通过磁场中某给定面的磁感应线的总条数



微元分析法（以平代曲，以恒代变）

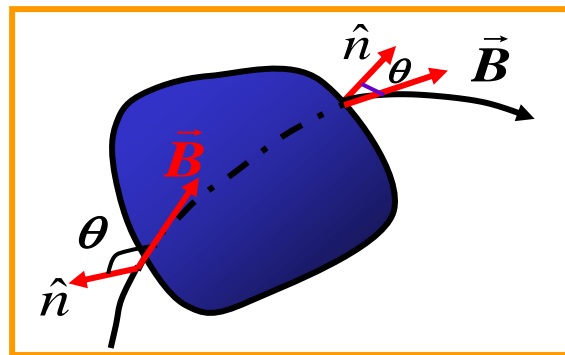
$$d\varphi_m = B dS_{\perp} = B \cos \theta dS = \vec{B} \cdot d\vec{S}$$

$$\varphi_m = \iint_S \vec{B} \cdot d\vec{S}$$

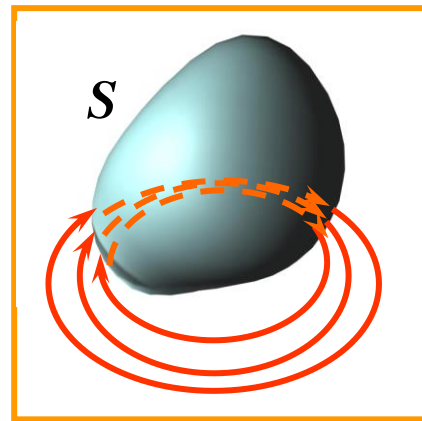
对封闭曲面，规定外法向为正方向。

进入的磁感应线 $\varphi_m < 0$

穿出的磁感应线 $\varphi_m > 0$



$$\therefore \oiint_S \vec{B} \cdot d\vec{S} = 0$$



3. 磁场的高斯定理

穿过磁场中任意封闭曲面的磁通量为零：

$$\oiint_S \vec{B} \cdot d\vec{S} = 0$$

磁场是**无源场**

{ 磁感应线闭合成环，无头无尾；
不存在磁单极。

例：证明不存在球对称辐射状的磁场

证明：用反证法

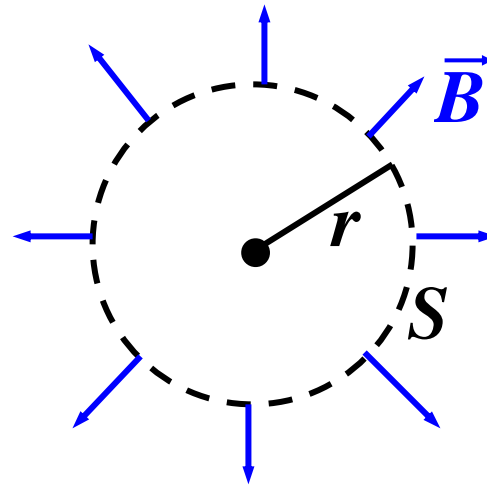
设有 $\vec{B} = f(r)\hat{r}$,

作球对称的高斯面S

$$\text{有 } \oiint_S \vec{B} \cdot d\vec{s} = f(r) \cdot 4\pi r^2 \neq 0$$

违反 \vec{B} 的高斯定理

所以，不存在球对称辐射状的磁场。



二. 稳恒磁场的安培环路定理

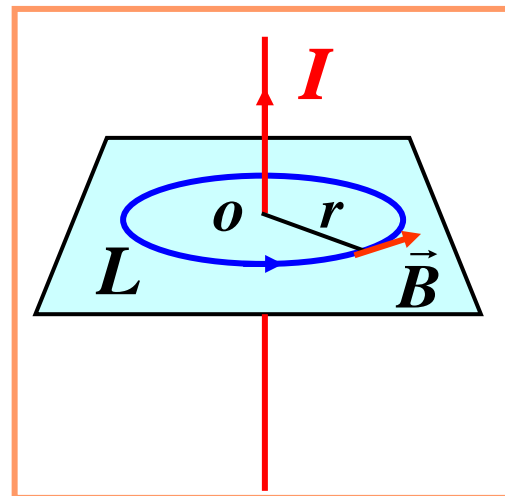
1. 导出： 可由毕-萨 - 拉定律出发严格推证

采用： 以无限长直电流的磁场为例验证

推广到任意稳恒电流磁场（从特殊到一般）

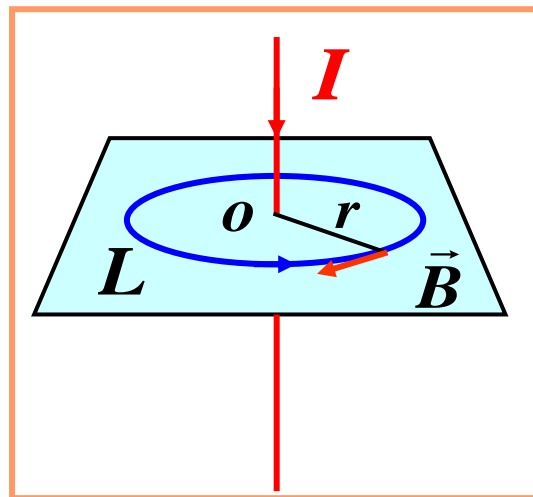
1) 选在垂直于长直载流导线的平面内，以导线与平面交点 o 为圆心，半径为 r 的圆周路径 L ，其指向与电流成右旋关系。

$$\begin{aligned}\oint_L \vec{B} \cdot d\vec{l} &= \oint_L \frac{\mu_0 I}{2\pi r} \cdot dl \cdot \cos 0^\circ \\ &= \frac{\mu_0 I}{2\pi r} \int_0^{2\pi r} dl = \mu_0 I\end{aligned}$$



若电流反向:

$$\begin{aligned}\oint_L \vec{B} \cdot d\vec{l} &= \int_0^{2\pi r} \frac{\mu_0 I}{2\pi r} dl \cos \pi \\ &= -\frac{\mu_0 I}{2\pi r} \int_0^{2\pi r} dl = -\mu_0 I\end{aligned}$$

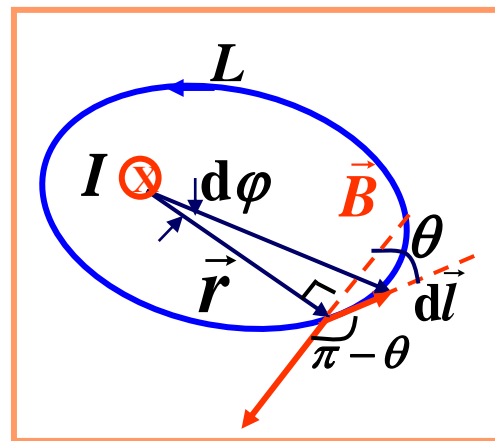
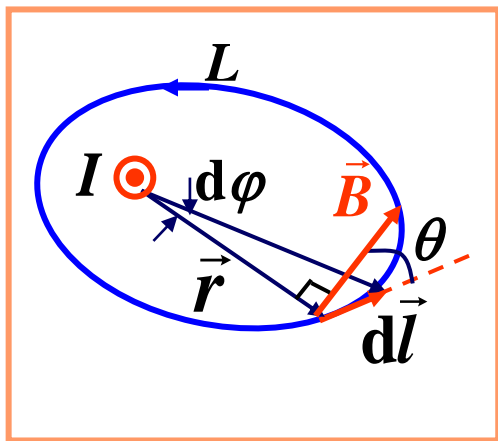


与环路绕行方向成右旋关系的电流对环流的贡献为正，反之为负。

如果规定 { 与 L 绕向成右旋关系 $I > 0$
与 L 绕向成左旋关系 $I < 0$

统一为: $\oint_L \vec{B} \cdot d\vec{l} = \mu_0 I$

2) 选择在垂直于导线平面内围绕电流的任意闭合路径



$$\oint_L \vec{B} \cdot d\vec{l} = \oint_L B \cos \theta dl = \oint_L \frac{\mu_0 I}{2\pi r} r d\varphi = \frac{\mu_0 I}{2\pi} \int_0^{2\pi} d\varphi = \mu_0 I$$

若电流反向，则为 $-\mu_0 I$

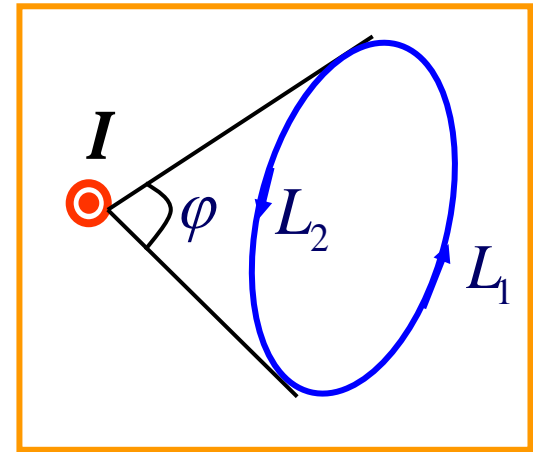
如果规定与 L 绕向成右旋关系 $I > 0$ ，反之 $I < 0$

统一为：

$$\oint_L \vec{B} \cdot d\vec{l} = \mu_0 I$$

3) 闭合路径不包围电流

$$\begin{aligned}\oint_L \vec{B} \cdot d\vec{l} &= \int_{L_1} \vec{B} \cdot d\vec{l} + \int_{L_2} \vec{B} \cdot d\vec{l} \\ &= \frac{\mu_0 I}{2\pi} \left(\int_{L_1} d\varphi + \int_{L_2} d\varphi \right) \\ &= \frac{\mu_0 I}{2\pi} [\varphi + (-\varphi)] = 0\end{aligned}$$

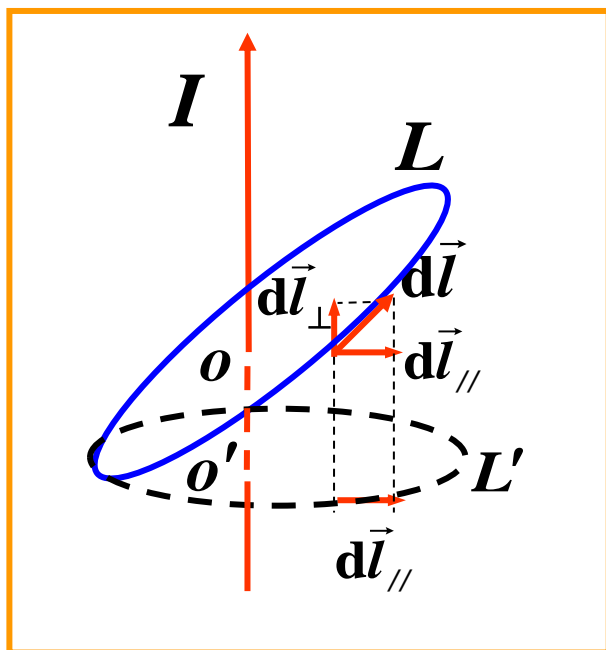


穿过 L 的电流: 对 \vec{B} 和 $\oint_L \vec{B} \cdot d\vec{l}$ 均有贡献

不穿过 L 的电流: 对 L 上各点 \vec{B} 有贡献;

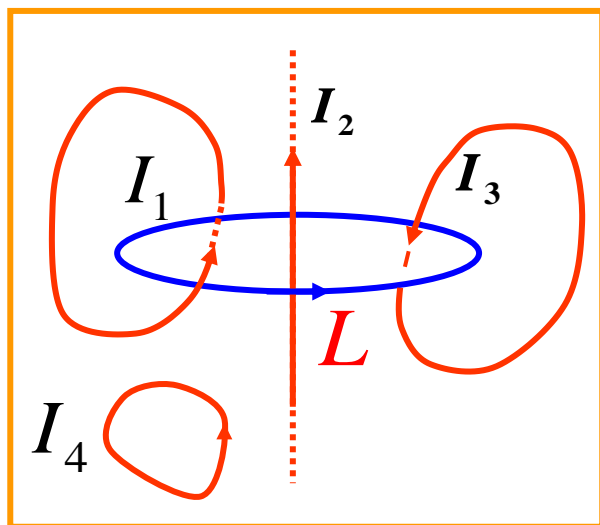
对 $\oint_L \vec{B} \cdot d\vec{l}$ 无贡献。

4) 闭合路径不在垂直于电流的平面内



$$\begin{aligned}\oint_L \vec{B} \cdot d\vec{l} &= \oint_L \vec{B} \cdot (d\vec{l}_{//} + d\vec{l}_{\perp}) \\ &= \oint_L \vec{B} \cdot d\vec{l}_{//} + \oint_L \vec{B} \cdot d\vec{l}_{\perp} \\ &= \oint_L \vec{B} \cdot d\vec{l}_{//} + 0 \quad \cos\theta = 0 \\ &= \begin{cases} \mu_0 I & (I \text{ 穿过 } L) \\ 0 & (I \text{ 不穿过 } L) \end{cases}\end{aligned}$$

5) 空间存在多个长直电流时



由磁场叠加原理

$$\vec{B} = \vec{B}_1 + \vec{B}_2 + \cdots + \vec{B}_n$$

$$\begin{aligned}\oint_L \vec{B} \cdot d\vec{l} &= \oint_L (\vec{B}_1 + \vec{B}_2 + \cdots + \vec{B}_n) \cdot d\vec{l} \\ &= \oint_L \vec{B}_1 \cdot d\vec{l} + \oint_L \vec{B}_2 \cdot d\vec{l} + \cdots + \oint_L \vec{B}_n \cdot d\vec{l} \\ &= \mu_0 \sum_{(\text{穿过} L)} I_i\end{aligned}$$

2. 推广：稳恒磁场的安培环路定理

$$\oint_L \vec{B} \cdot d\vec{l} = \mu_0 \sum_{(\text{穿过}L)} I_i$$

稳恒磁场中，磁感应强度 \vec{B} 沿任意闭合路径 L 的线积分（环流）等于穿过闭合路径的电流的代数和与真空磁导率的乘积。

成立条件：稳恒电流的磁场

L ：场中任一闭合曲线 — 安培环路（规定绕向）

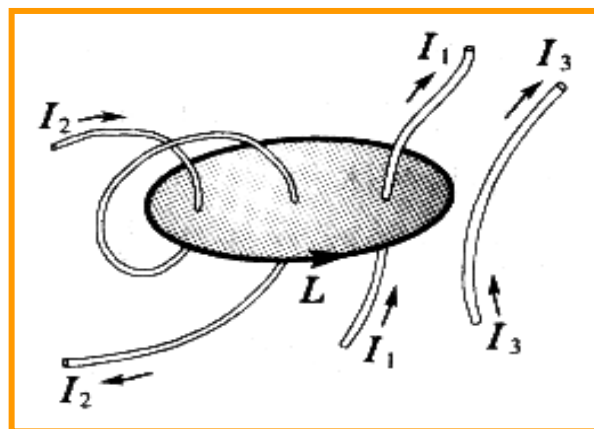
\vec{B} ：环路上各点总磁感应强度（包含空间穿过 L ，不穿过 L 的所有电流的贡献）

$$\oint_L \vec{B} \cdot d\vec{l} = \mu_0 \sum_{(\text{穿过}L)} I_i$$

$\sum_{(\text{穿过}L)} I_i$: 穿过以 L 为边界的任意曲面的电流的代数和.

规定: $\left\{ \begin{array}{l} \text{与} L \text{ 绕向成右旋关系} \\ \text{与} L \text{ 绕向成左旋关系} \end{array} \right. \quad \begin{array}{l} I_i > 0 \\ I_i < 0 \end{array}$

例如:



$$\sum_{(\text{穿过}L)} I_i = I_1 - 2I_2$$

注意:

$$\oint_L \vec{B} \cdot d\vec{l} = \mu_0 \sum_{(\text{穿过}L)} I_i$$

\vec{B} : 与空间所有电流有关

\vec{B} 的环流: 只与穿过环路的电流代数和有关

穿过 L 的电流: 对 \vec{B} 和 $\oint_L \vec{B} \cdot d\vec{l}$ 均有贡献

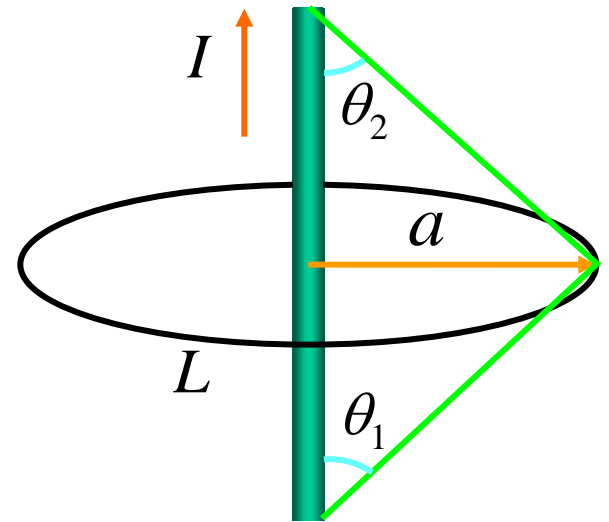
不穿过 L 的电流: 对 L 上各点 \vec{B} 有贡献;

对 $\oint_L \vec{B} \cdot d\vec{l}$ 无贡献

安培环路定理揭示磁场是非保守场 (无势场, 涡旋场)

例 图中载流直导线, 设 $\theta_1 = \theta_2 = \pi/4$
则 L 的环流为

$$\begin{aligned}\oint_L \vec{B} \cdot d\vec{l} &= \oint_L \frac{\mu_0 I}{4\pi a} (\cos \theta_1 + \cos \theta_2) dl \\ &= \frac{\mu_0 I}{4\pi a} 2 \frac{\sqrt{2}}{2} 2\pi a = \frac{\mu_0 \sqrt{2} I}{2} \neq \mu_0 I\end{aligned}$$



安培定理成立条件: 电流是稳恒的 (闭合或伸展到 ∞);
安培环路定理只适用于闭合的载流导线, 对于任意设想的一段载流导线不成立。

| 比较 | 高斯定理 | 环路定理 |
|----------|---|--|
| 静电场 | $\oiint_S \vec{E} \cdot d\vec{S} = \frac{1}{\epsilon_0} \sum q_{\text{内}}$ <p>有源场</p> | $\oint_L \vec{E} \cdot d\vec{l} = 0$ <p>保守场、有势场</p> |
| 稳恒 磁场 | $\oiint_S \vec{B} \cdot d\vec{S} = 0$ <p>无源场</p> | $\oint_L \vec{B} \cdot d\vec{l} = \mu_0 \sum_{(\text{穿过}L)} I_i$ <p>非保守场、无势场 (涡旋场)</p> |

三 . 安培环路定理的应用

1) 可以用安培环路定理定性分析场的分布

例. 证明磁场不可能在某边界突变为0。

证明： 选图示的闭合回路 L ,

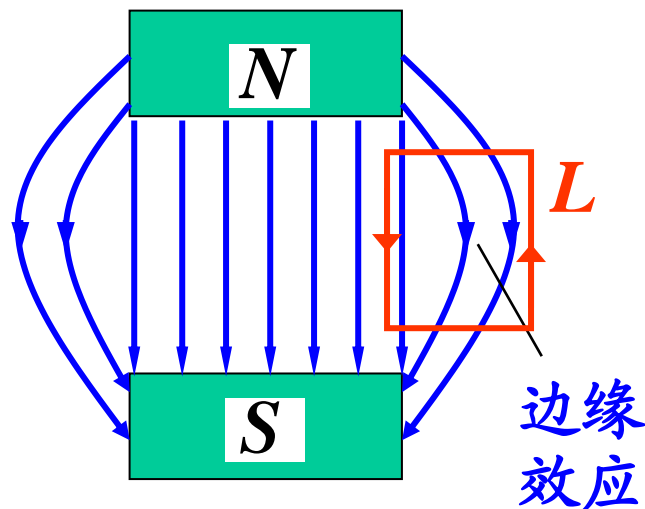
$$\oint_L \vec{B} \cdot d\vec{l} = \mu_0 \sum I_{\text{内}} = 0$$

但若磁场突然降到零,

$$\oint_L \vec{B} \cdot d\vec{l} \neq 0$$

所以不存在这样的磁场。

实际情况应有边缘效应, 这样才能满足**安培环路定理**。



2) 求解具有某些对称性的磁场分布

$$\oint_L \vec{B} \cdot d\vec{l} = \mu_0 \sum_{(\text{穿过}L)} I_i$$

适用条件： 稳恒电流的磁场

求解条件： 电流分布（磁场分布）具有某些对称性，

以便可以找到恰当的安培环路 L ，使积分 $\oint_L \vec{B} \cdot d\vec{l}$

能够计算，成为 B 与路径长度的乘积形式，从而方

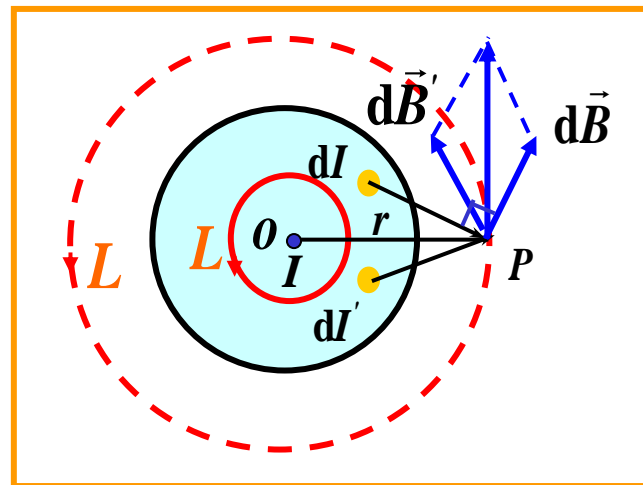
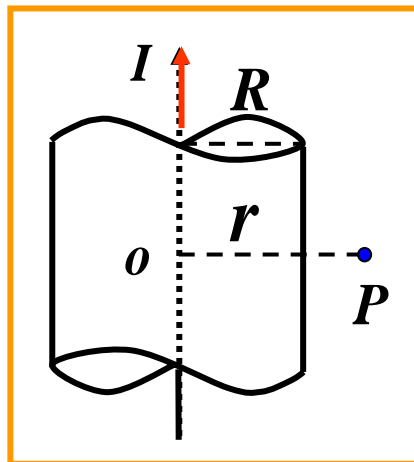
便地求解 \vec{B}

与用高斯定理计算场强的条件和方法作比较！

例

无限长均匀载流圆柱体 (I, R) 内外磁场.

(电流分布均匀。)



对称性分析:

在 $\perp I$ 平面内, 作以 O 为中心、半径 r 的圆环 L ,

L 上各点等价: \vec{B} 大小相等, 方向沿切向。

以 L 为安培环路, 逆时针绕向为正: ↺₊

$$\oint_L \vec{B} \cdot d\vec{l} = B \cdot 2\pi r = \mu_0 \sum I_{\text{内}}$$

$$r \geq R: \quad \sum I_{\text{内}} = I$$

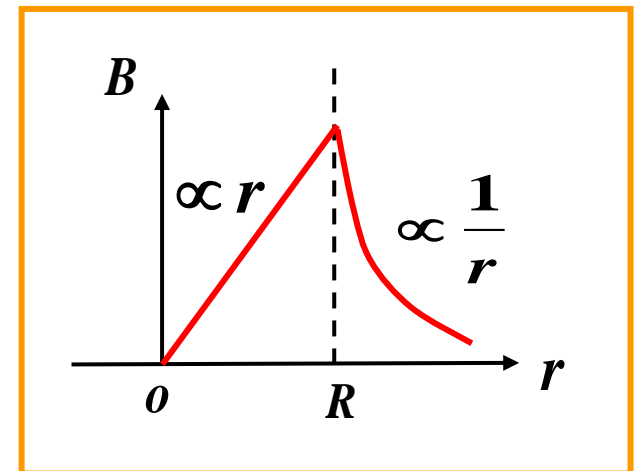
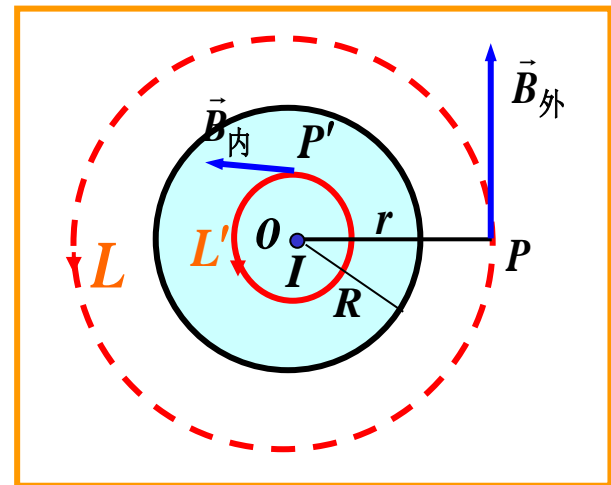
$$B_{\text{外}} = \frac{\mu_0 I}{2\pi r} \propto \frac{1}{r}$$

$$r \leq R:$$

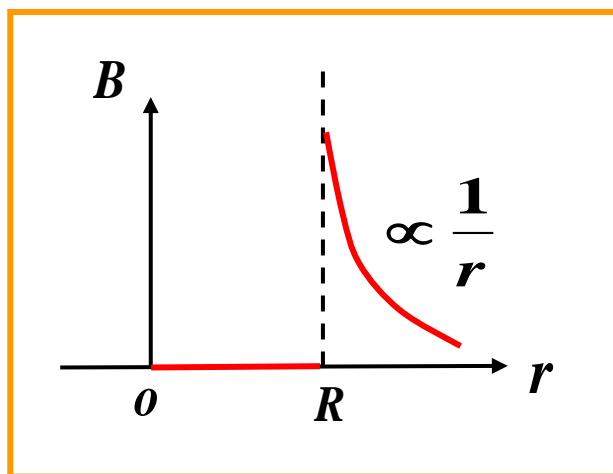
$$\sum I_{\text{内}} = \frac{I}{\pi R^2} \cdot \pi r^2 = \frac{I r^2}{R^2}$$

$$B_{\text{内}} = \frac{\mu_0 I r}{2\pi R^2} \propto r$$

\vec{B} 方向与 I 指向满足右旋关系



思考：无限长均匀载流直圆筒 $B \sim r$ 曲线？



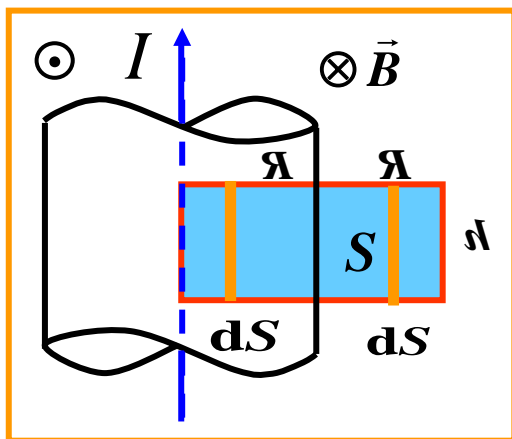
$$B_{\text{内}} = 0$$

$$B_{\text{外}} = \frac{\mu_0 I}{2\pi r}$$

$\vec{B}_{\text{外}}$ 方向与 I 指向满足右旋关系

等价于全部电流集中于轴线的无限长直电流

练习：无限长均匀载流圆柱体 (R, I) 如图，求通过截面 S ($2R, h$) 的磁通量.



解：磁场分布

$$B_{\text{内}} = \frac{\mu_0 I r}{2\pi R^2} \quad B_{\text{外}} = \frac{\mu_0 I}{2\pi r}$$

方向如图所示

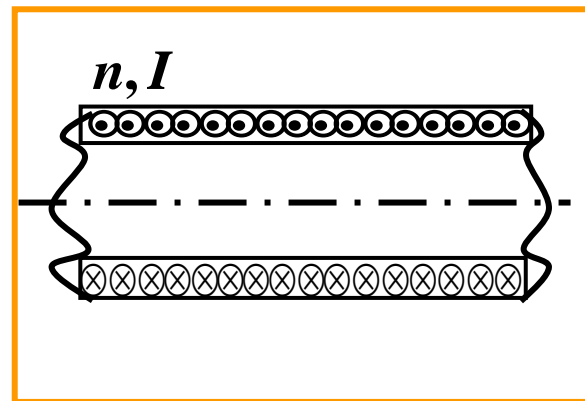
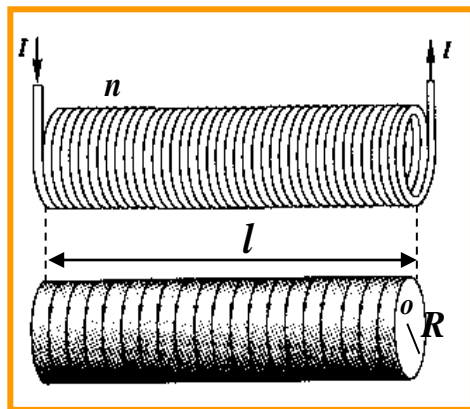
微元分析法：取 $dS = h dr$ 且 $d\vec{S}$ 与 \vec{B} 方向相同

$$\begin{aligned} \varphi_m &= \int_S \vec{B} \cdot d\vec{S} = \int_{S_{\text{内}}} B_{\text{内}} dS + \int_{S_{\text{外}}} B_{\text{外}} dS \\ &= \int_0^R \frac{\mu_0 I r}{2\pi R^2} h dr + \int_R^{2R} \frac{\mu_0 I}{2\pi r} h dr = \frac{\mu_0 I h}{4\pi} (1 + 2\ln 2) \end{aligned}$$

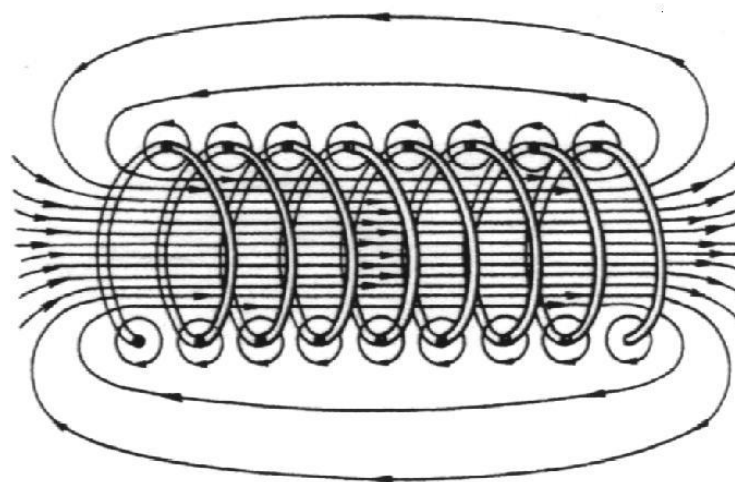
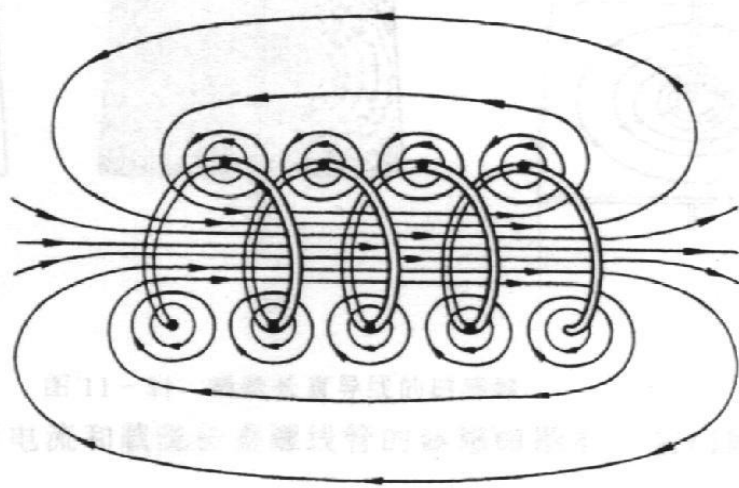
例 无限长载流直螺线管的磁场 (I . n . 线密绕)

$R \ll l$, 对邻近场点

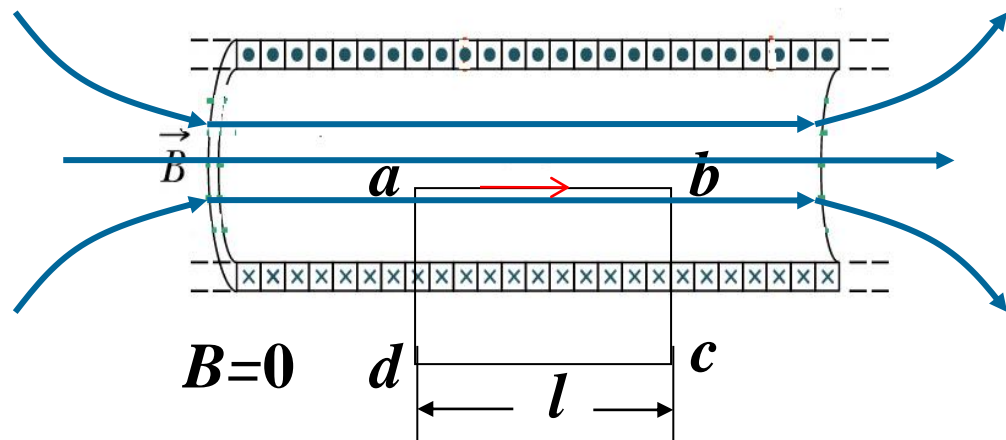
单位长度上的匝数



模型：螺距为零，视为一系列平行圆电流紧密排列。



解 1) 对称性分析
 螺旋管内为均匀场，方向沿轴向，**外部**磁感强度趋于零，即 $B \cong 0$ 。
 磁场 \vec{B} 的方向与电流 I 成**右螺旋**。



2) 选回路。 取矩形回路 $abcda$:

$$\oint_L \vec{B} \cdot d\vec{l} = \int_a^b \vec{B} \cdot d\vec{l} + \int_b^c \vec{B} \cdot d\vec{l} + \int_c^d \vec{B} \cdot d\vec{l} + \int_d^a \vec{B} \cdot d\vec{l} = \mu_0 n l I$$

$$\int_b^c \vec{B} \cdot d\vec{l} = \int_c^d \vec{B} \cdot d\vec{l} = \int_d^a \vec{B} \cdot d\vec{l} = 0$$

$$\therefore \int_a^b \vec{B} \cdot d\vec{l} = B l = \mu_0 n l I$$

结果:

$$B = \mu_0 n I = \frac{\mu_0 N I}{L}$$

比较:

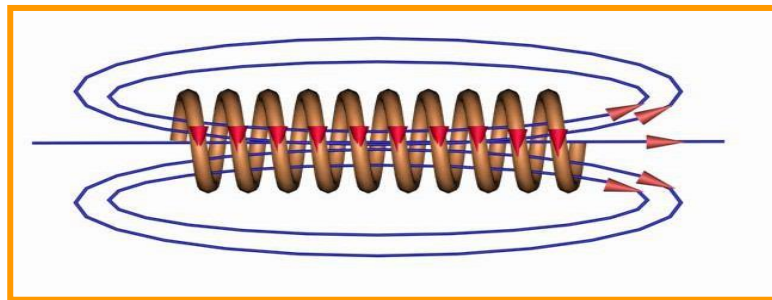
上节例题: 无限长圆截面螺线管轴线上 $B = \mu_0 n I$

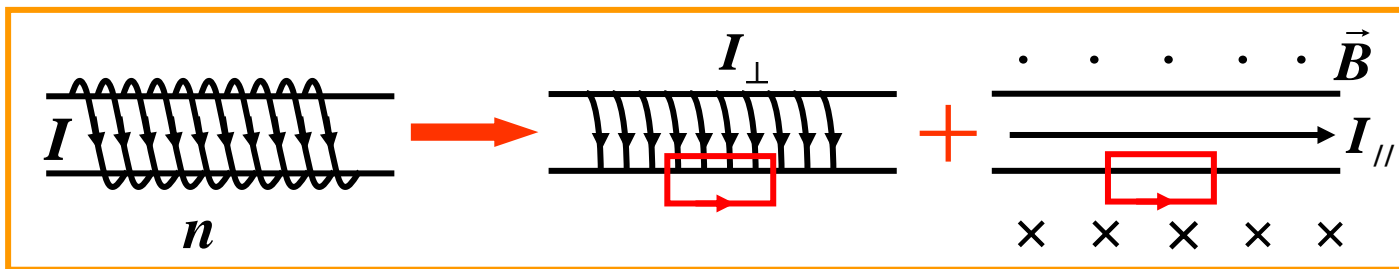
本例: 螺线管截面可以是任意异形截面,

无限长载流螺线管内为均匀磁场。 $B_{\text{内}} = \mu_0 n I$

思考:

如果螺距不为零 (螺旋电流) 对以上结果有无影响?





$$B_{\text{内}} = \mu_0 n I, \quad \text{螺线管内磁场不变}$$

$$B_{\text{外}} = \frac{\mu_0 I_{\parallel}}{2\pi r} = \frac{\mu_0 I}{2\pi r} \propto \frac{1}{r}$$

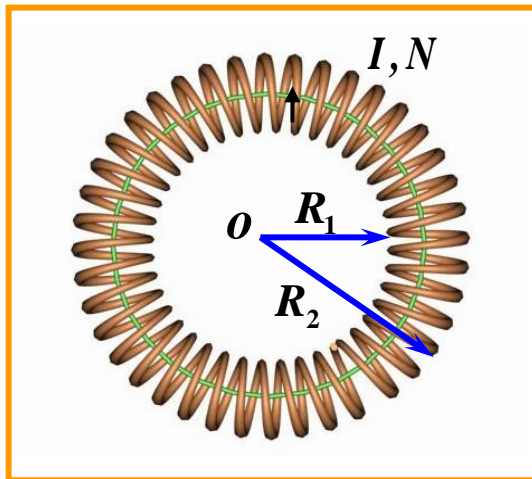
$$\frac{B_{\text{外}}}{B_{\text{内}}} = \frac{1}{2\pi n r}; \quad \text{取: } n = 4000\text{m}^{-1}, R = 0.02\text{m}, r = 0.2\text{m},$$

$$\text{得: } \frac{B_{\text{外}}}{B_{\text{内}}} = 2 \times 10^{-4}$$

前面认为在螺线管外磁场为零——可行!

例

载流螺绕环的磁场分布 (R_1 . R_2 . N . I)

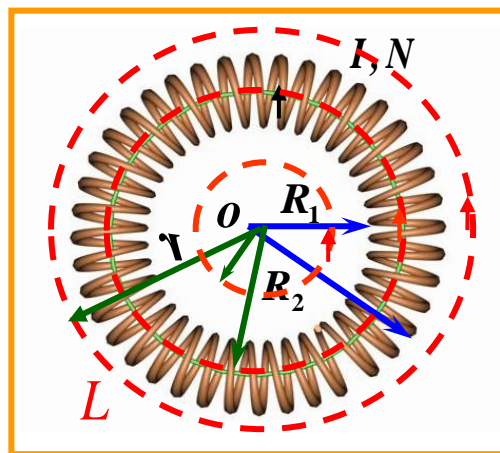
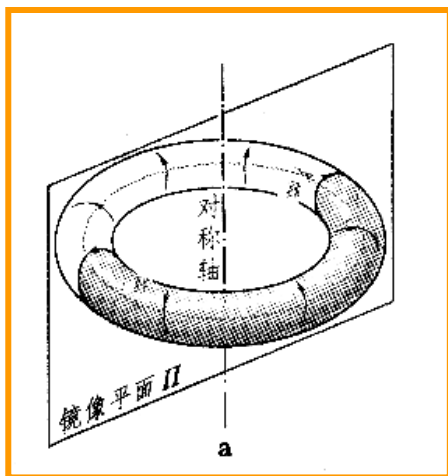


对称性分析:

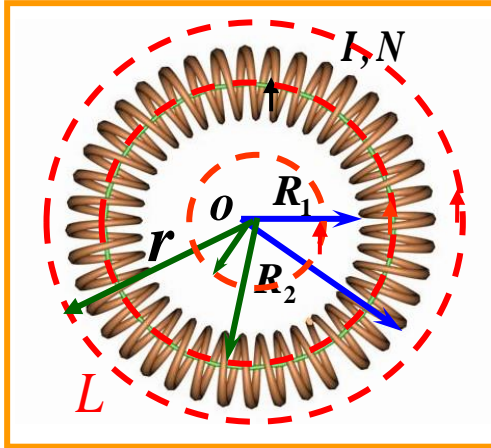
\vec{B} 大小相等的点的集合:

同心圆环

环上各点 \vec{B} 方向: 切向



以中心 O , 半径 r 的圆环为安培环路 



$$\oint_L \vec{B} \cdot d\vec{l} = B \cdot 2\pi r = \mu_0 \sum I_{\text{内}}$$

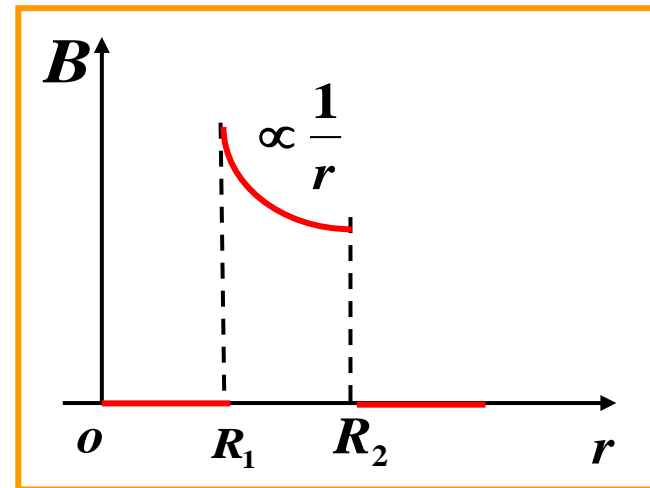
$$r < R_1, \quad r > R_2 :$$

$$\sum I_{\text{内}} = 0 \quad B_{\text{外}} = 0$$

$$R_1 < r < R_2 :$$

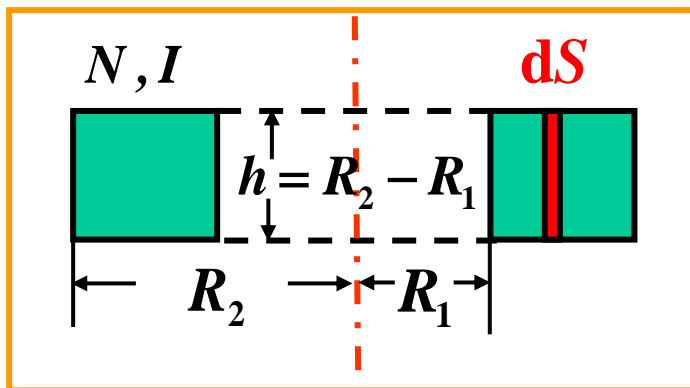
$$\sum I_{\text{内}} = NI$$

$$B_{\text{内}} = \frac{\mu_0 NI}{2\pi r}$$



练习:

若螺绕环截面为正方形，求通过螺绕环截面的磁通量。



$$dS = h dr = (R_2 - R_1) dr$$

$$d\varphi_m = \vec{B}_{\text{内}} \cdot d\vec{S}$$

$$= \frac{\mu_0 NI}{2\pi r} (R_2 - R_1) dr$$

$$\begin{aligned} \varphi_m &= \int d\varphi_m = \frac{\mu_0 NI}{2\pi} (R_2 - R_1) \int_{R_1}^{R_2} \frac{dr}{r} \\ &= \frac{\mu_0 NI}{2\pi} (R_2 - R_1) \ln \frac{R_2}{R_1} \end{aligned}$$

例 无限大均匀载流平面的磁场

电流线密度均匀，大小为*i*，

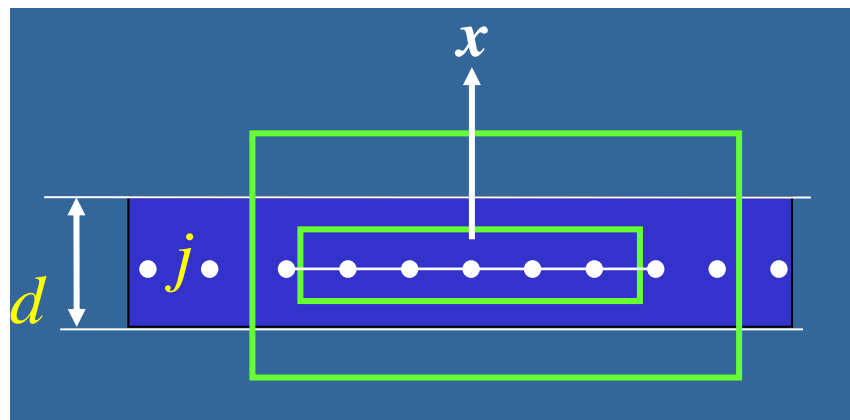
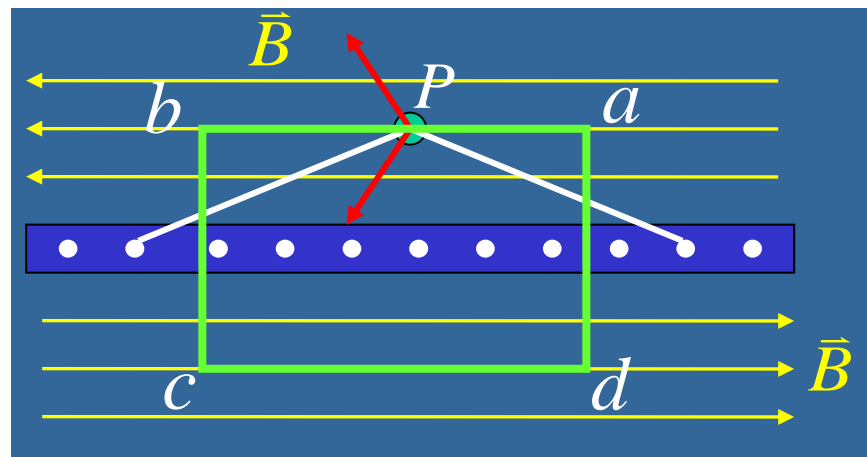
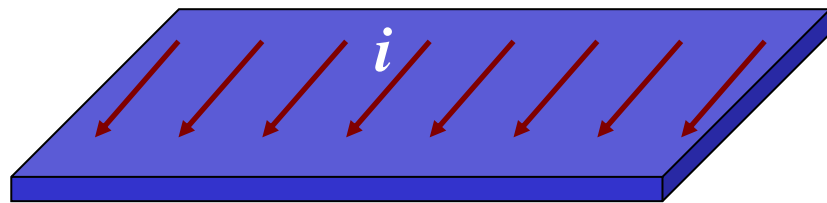
选取矩形回路*abcd*

$$\begin{aligned}\oint_L \vec{B} \cdot d\vec{l} &= \left[\int_b^a + \int_c^b + \int_d^c + \int_a^d \right] \vec{B} \cdot d\vec{l} \\ &= B \cdot ab + 0 + Bcd + 0 \\ &= \mu_0 I \\ &= \mu_0 iab\end{aligned}$$

$$2Bab = \mu_0 iab \quad \mathbf{B} = \frac{\mu_0 i}{2}$$

推广：有厚度的无限大载流导体

- 在外部 $B = \mu_0 jd / 2$
- 在内部 $B = \mu_0 jx$



小结:

1. 熟悉典型问题结果

运动点电荷,
无限长直电流,
圆电流轴线上,
长直载流螺线管,
螺绕环 ...

2. 总结出用安培环路定理求解磁场分布的思路

对称性分析 — 选环路 L 并规定绕向.

— 由 $\oint_L \vec{B} \cdot d\vec{l} = \mu_0 \sum I_{\text{内}}$ 求 \vec{B} 分布.

与用高斯定理计算场强的条件和方法作比较!

电场和磁场的对比

实验规律（静电场）

静电场线：起始于正电荷终止于负电荷

静电场的通量

$$\varphi_e = \iint \vec{E} \cdot d\vec{s}$$

高斯定理

$$\oiint \vec{E} \cdot d\vec{s} = \frac{\sum_i q_i}{\epsilon_0}$$

电荷元

$$d\vec{E} = \frac{dq\vec{r}}{4\pi\epsilon_0 r^3}$$

连续带电体
叠加原理

$$\vec{E} = \int d\vec{E}$$

静电场的环量

$$\oint_l \vec{E} \cdot d\vec{l}$$

电势

环路定理

$$\oint_l \vec{E} \cdot d\vec{l} = 0$$

稳恒电流的磁场 (静磁场)

静磁场线：无头无尾的闭合曲线

稳恒磁场的
通量

$$\varphi_m = \iint_S \vec{B} \cdot d\vec{S}$$

高斯定理

$$\oiint_S \vec{B} \cdot d\vec{S} = 0$$

电流元 $I d\vec{l}$

$$d\vec{B} = \frac{\mu_0}{4\pi} \frac{I d\vec{l} \times \vec{r}}{r^3}$$

毕—萨—拉定律

一段电流的磁场

$$\vec{B} = \int d\vec{B}$$

稳恒磁场的
环流

安培环流定理

$$\oint_l \vec{B} \cdot d\vec{l} = \mu_0 \cdot \sum_i I_i$$

学会类比方法！！

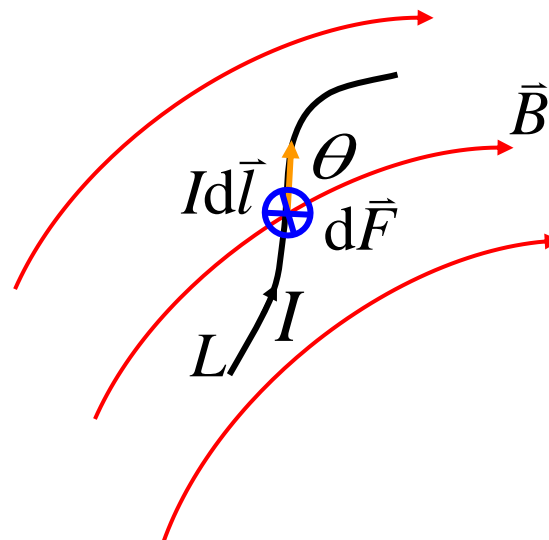
§ 5 磁场对电流的作用

一、 磁场对载流导线的作用

安培力 $d\vec{F} = Id\vec{l} \times \vec{B}$

大小: $dF = IdlB \sin \theta$

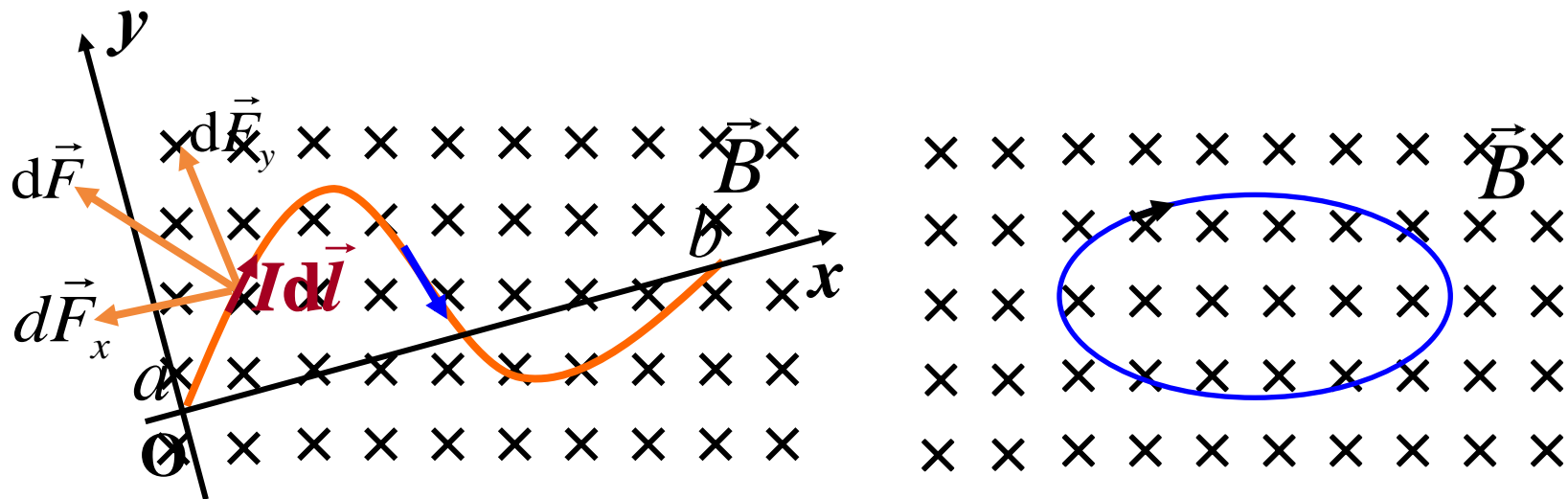
方向: 右手螺旋定则确定



任意形状载流导线在外磁场中受到的安培力

$$\vec{F} = \int d\vec{F} = \int_L Id\vec{l} \times \vec{B}$$

分析：均匀磁场中任意形状载流导线受到的安培力



结论：

均匀磁场中任意闭合导线所受的磁场力等于0。

例：无限长平行载流直导线间的相互作用力

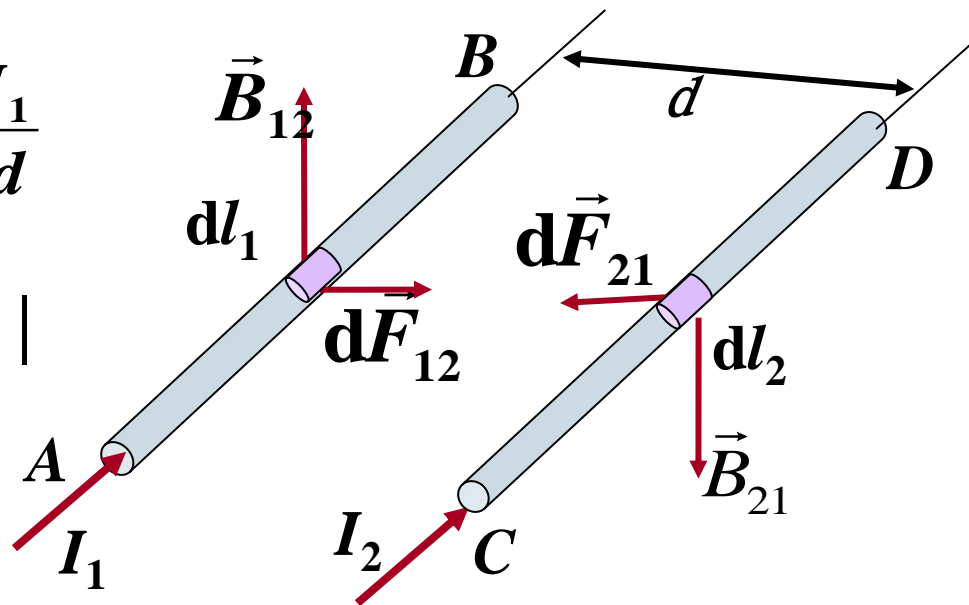
$$B = \frac{\mu_0 I}{2\pi d}$$

$$B_{12} = \frac{\mu_0 I_2}{2\pi d} \quad B_{21} = \frac{\mu_0 I_1}{2\pi d}$$

$$|d\vec{F}_{12}| = |I_1 d\vec{l}_1 \times \vec{B}_{12}|$$

$$= I_1 \frac{\mu_0 I_2}{2\pi d} dl_1$$

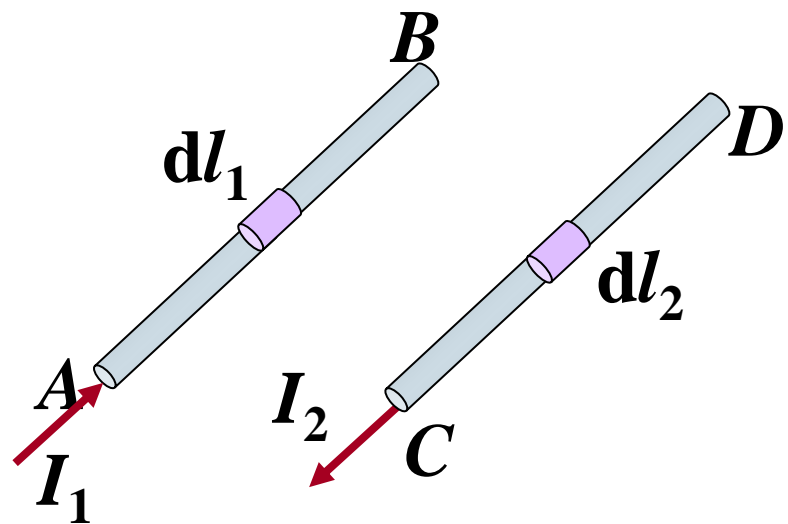
$$|d\vec{F}_{21}| = |I_2 d\vec{l}_2 \times \vec{B}_{21}| = I_2 \frac{\mu_0 I_1}{2\pi d} dl_2$$



载流导线AB单位长度所受的力：

$$\frac{dF_{12}}{dl_1} = \frac{\mu_0 I_1 I_2}{2\pi d}$$

思考:



$$\frac{dF_{12}}{dl_1} = \frac{\mu_0 I_1 I_2}{2\pi d}$$

电流单位“安培”定义如下:

真空中当两无限长圆形截面平行载流导线相距1m,通有相同电流,单位长度的相互作用力为 2×10^{-7} N时,导线内电流为1安培.

验证如下: 当 $I_1 = I_2 = 1\text{A}$,

$$\frac{d\vec{F}}{dl} = \frac{\mu_0 I_1 I_2}{2\pi d} = \frac{\mu_0}{2\pi} = 2 \times 10^{-7} \text{ N/m}$$

二、均匀磁场对载流线圈的作用

在均匀磁场中的刚性矩形载流线圈

$$\begin{aligned} F_{ab} &= I \overline{ab} B \sin\left(\frac{\pi}{2} + \theta\right) \\ F_{cd} &= I \overline{cd} B \sin\left(\frac{\pi}{2} - \theta\right) \end{aligned} \quad \left. \begin{array}{l} \text{大小相等,} \\ \text{方向相反} \end{array} \right\}$$

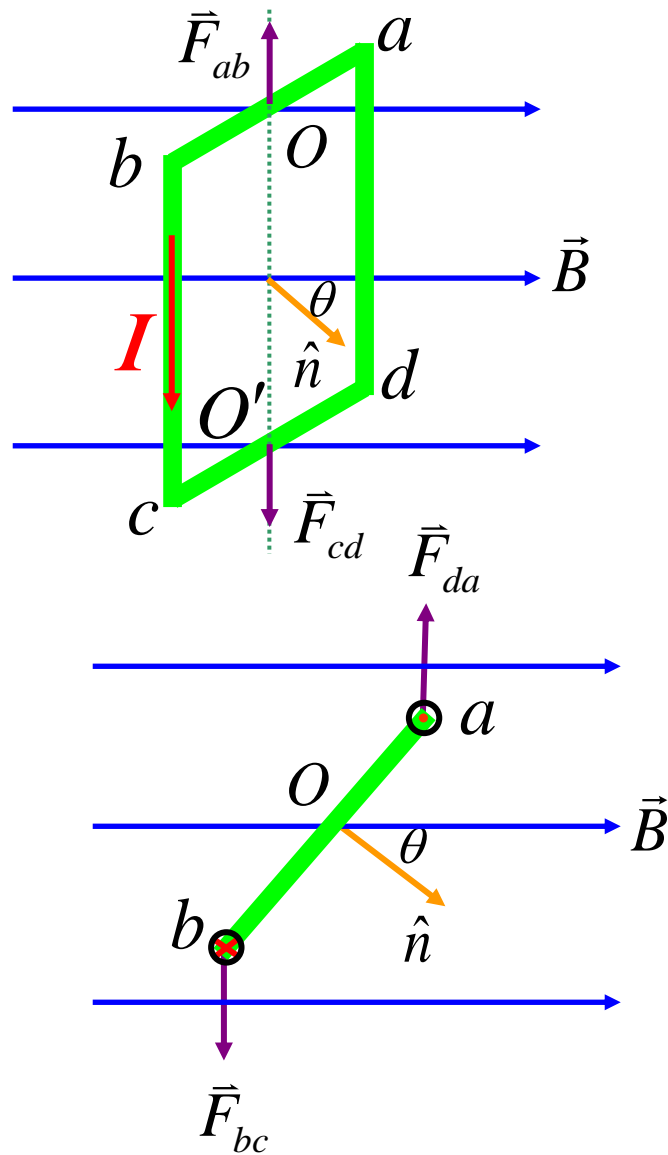
$$\begin{aligned} F_{bc} &= I \overline{bc} B \\ F_{da} &= I \overline{da} B \end{aligned} \quad \left. \begin{array}{l} \text{大小相等,} \\ \text{方向相反} \end{array} \right\}$$

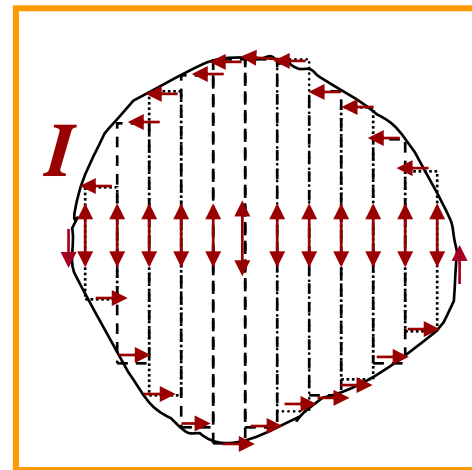
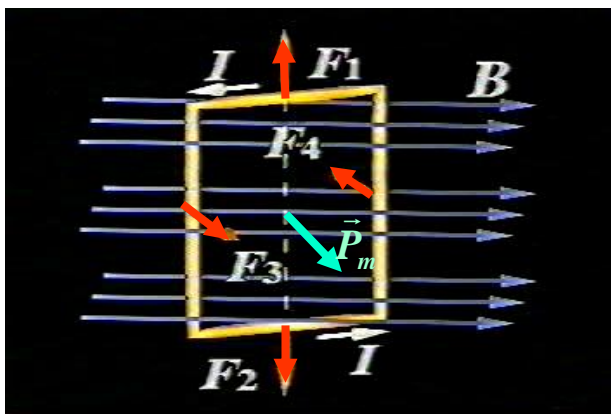
载流线圈受的合力为零。

$F_{bc} = F_{da}$ —— 形成力偶。

线圈所受的磁力矩

$$\vec{M} = \vec{p}_m \times \vec{B}$$





$$\sum \vec{F} = 0 \quad \vec{M} = \vec{P}_m \times \vec{B}$$

对于任意形状平面载流线圈 ~ 许多小矩形线圈的组合 .

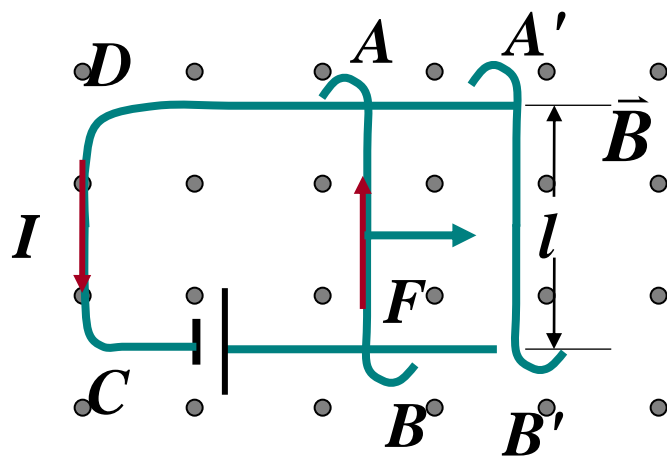
所以平面载流线圈在均匀磁场中 $\sum \vec{F} = 0$ 不平动

$$\vec{M} = \vec{P}_m \times \vec{B} \left\{ \begin{array}{l} \text{转动到 } \vec{P}_m \text{ 与 } \vec{B} \text{ 同向: 稳定平衡} \\ \text{若 } \vec{P}_m \text{ 与 } \vec{B} \text{ 反向: 不稳定平衡.} \end{array} \right.$$

非均匀磁场中: $\sum \vec{F} \neq 0$ $\left\{ \begin{array}{l} \text{不但转动, 还要平动,} \\ \sum \vec{M} \neq 0 \quad \text{移向 } \vec{B} \text{ 较强的区域.} \end{array} \right.$

三、磁力的功

1、载流导线在均匀磁场中运动时磁力所作的功



载流导线AB在均匀磁场所受的磁力:

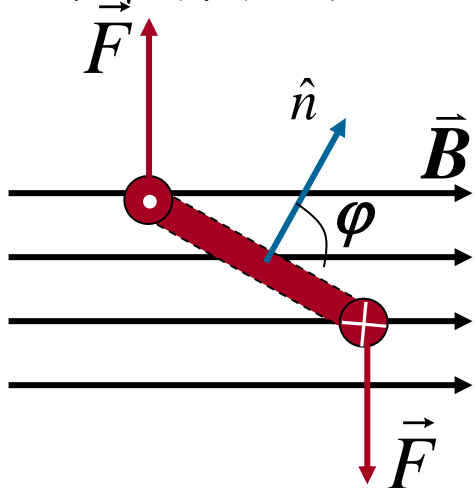
$$F = BIl$$

导线AB在磁力作用下移动到A'B':

$$A = Fs = BIl \overline{AA'} = I \Delta \varphi_m$$

在导线移动中, 磁力作的功 $A = I \Delta \varphi_m$

2、载流线圈在均匀磁场中转动时磁力所作的功



载流线圈在磁场中受到的磁力矩:

$$M = BIS \sin \varphi$$

设载流线圈在磁力矩作用下偏转一个微小的角度 $d\varphi$:

$$dA = -Md\varphi = -BIS \sin \varphi \cdot d\varphi = BIS d(\cos \varphi) = Id(BS \cos \varphi)$$

载流线圈在磁场中转动时磁力所作的功 $A = I \int d\Phi = I \Delta\Phi$

§ 6 磁场对运动电荷的作用

一、洛伦兹力

在磁场中运动的带电粒子
受磁场力——洛伦兹力：

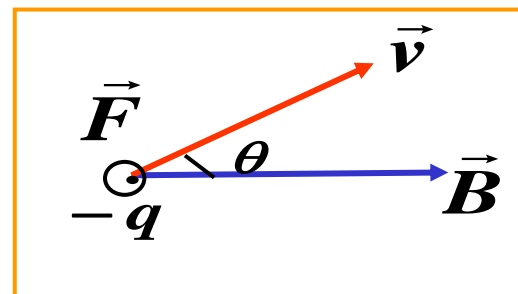
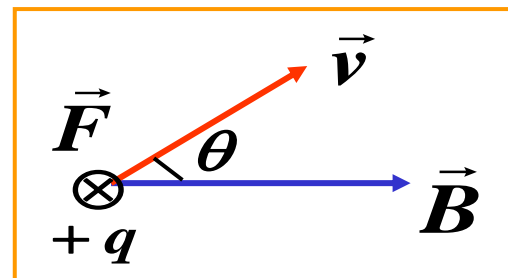
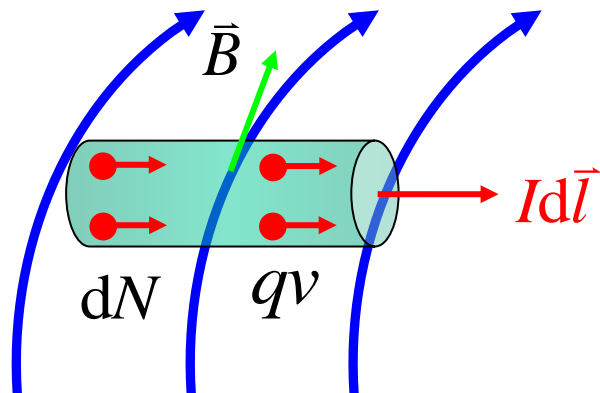
$$\vec{f}_L = q\vec{v} \times \vec{B}$$

大小： $F = qvB\sin\theta$

方向：垂直于 (\vec{v}, \vec{B}) 平面

$$\left\{ \begin{array}{l} +q : \vec{v} \times \vec{B} \text{ 方向} \\ -q : -(\vec{v} \times \vec{B}) \text{ 方向} \end{array} \right.$$

特点：不改变 \vec{v} 大小，只改变 \vec{v} 方向。
不对 q 做功。



$$\vec{f}_L = q\vec{v} \times \vec{B}$$

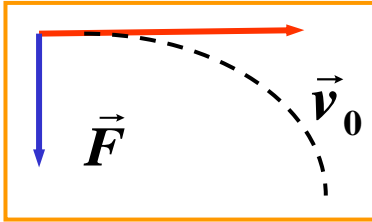
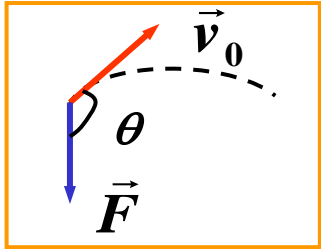
➤ 讨论

(1) 在一般情况下，空间中电场和磁场同时存在

$$\vec{f}_L = q(\vec{E} + \vec{v} \times \vec{B}) = d\vec{p} / dt$$

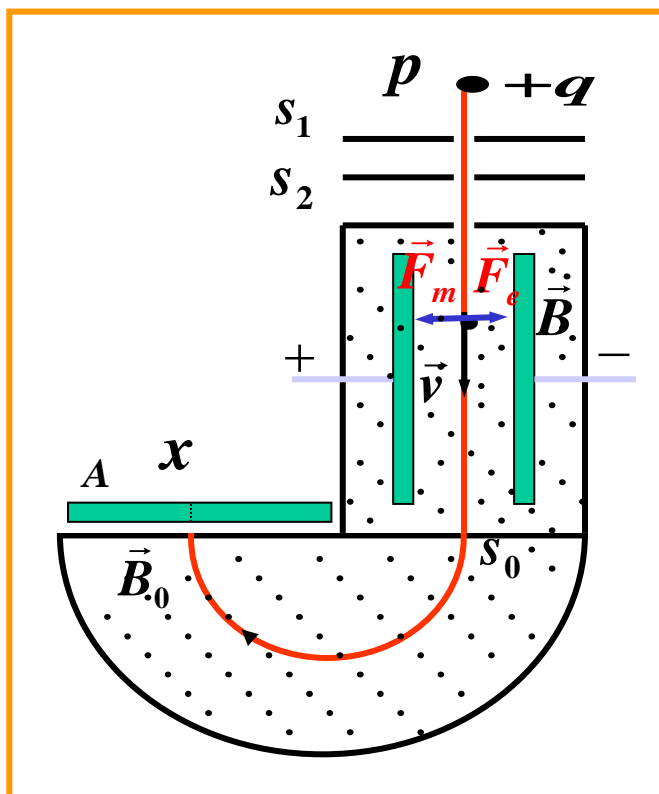
(2) 安培力是大量带电粒子洛伦兹力的叠加。

2. 带电粒子在电磁场中的运动

| | | | |
|------|------------------------|---|---|
| 匀强电场 | $\vec{v}_0 // \vec{E}$ | $\vec{v}_0 \perp \vec{E}$ | \vec{v}_0 与 \vec{E} 夹 θ 角 |
| | $\vec{F} = q\vec{E}$ | | |
| | 匀变速 直线运动 | 类平抛  | 类斜抛  |
| 匀强磁场 | $\vec{v}_0 // \vec{B}$ | $\vec{v}_0 \perp \vec{B}$ | \vec{v}_0 与 \vec{B} 夹 θ 角 |
| | $f_L = 0$ | $f_L = qv_0B$ | $f_L = qv_0B \sin\theta$ |
| | 匀速 直线 运动 | 匀速率圆周运动 $R = mv_0/qB$ $T = 2\pi m/qB$ | 等螺距螺旋线运动 $R = mv_{\perp}/qB = mv_0 \sin\theta / qB$ $h = Tv_{\parallel} = \frac{2\pi m}{qB} v_0 \cos\theta$ |

应用:

a) 质谱仪



滤速器: $qE = qvB$

$$v = E/B$$

质谱分析:

$$x = 2R = \frac{2mv}{qB_0}$$

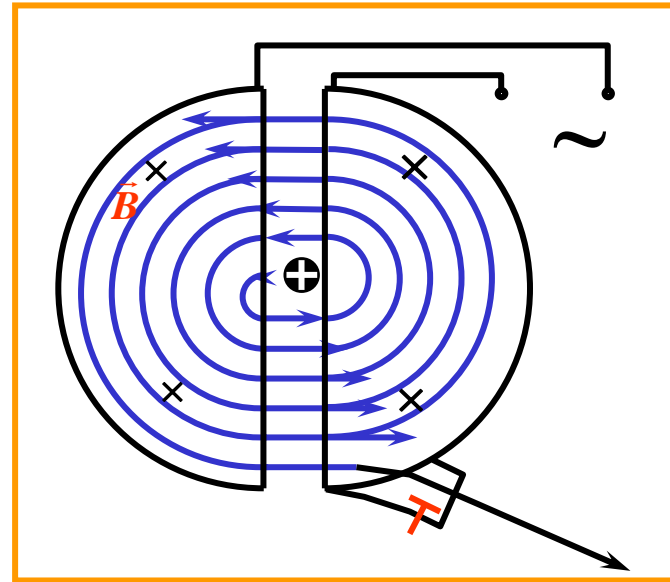
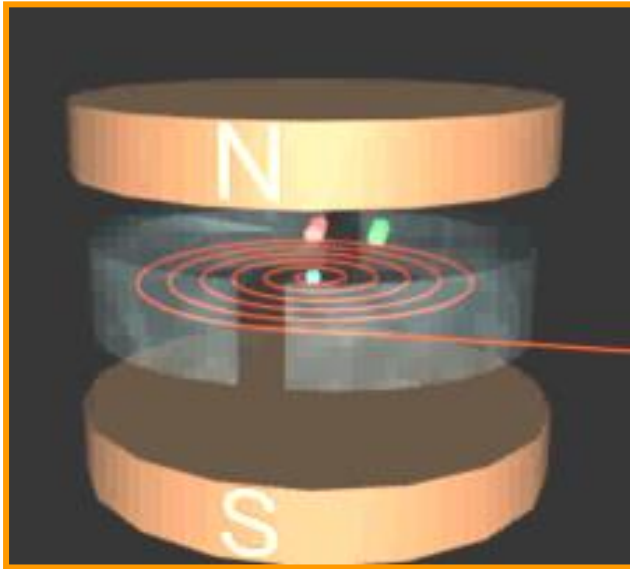
$$m = \frac{qB_0 Bx}{2E}$$

谱线位置: 同位素质量

谱线黑度: 相对含量

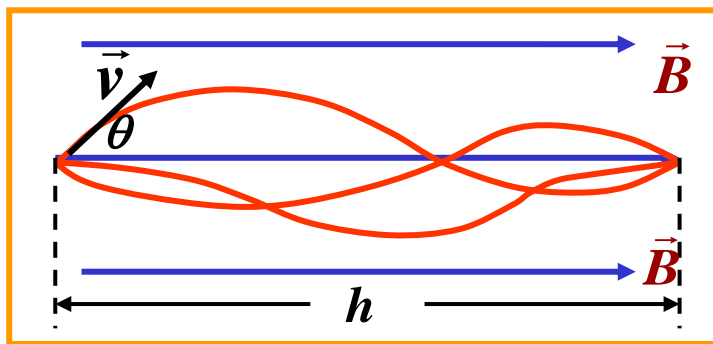
b)回旋加速器

用于产生高能粒子的装置，其结构为金属双 D 形盒，在其上加有磁场和交变的电场。将一粒子置于双 D 形盒的缝隙处，在电场的作用下，能量不断增大，成为高能粒子后引出轰击靶。



c) 磁聚焦

均匀磁场，且 θ 很小：



$$v_{\perp} = v \sin \theta \approx v \theta$$

$$v_{//} = v \cos \theta \approx v$$

$$h = T v_{//} = \frac{2\pi m v}{q B}$$

带电粒子作不同半径的螺旋线运动，螺距 h 近似相等，带电粒子经过距离 h 又重新汇集——磁聚焦。

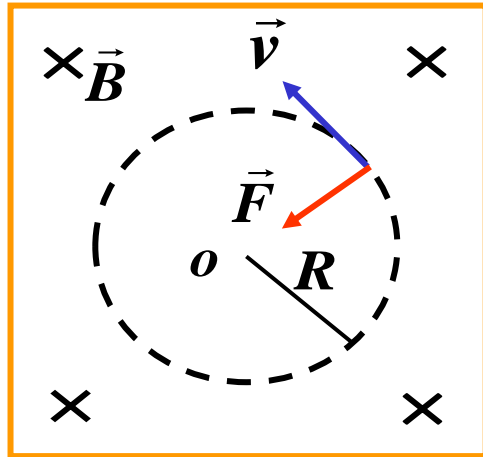
具有轴对称性的磁场对电子束说来起着透镜的作用

磁透镜 → 电子显微镜

↓
开创物质微观结构研究的新纪元。

d) 磁约束:

磁约束: 用磁场将高温等离子体约束在一定空间区域。



横向: $R = mv / qB$

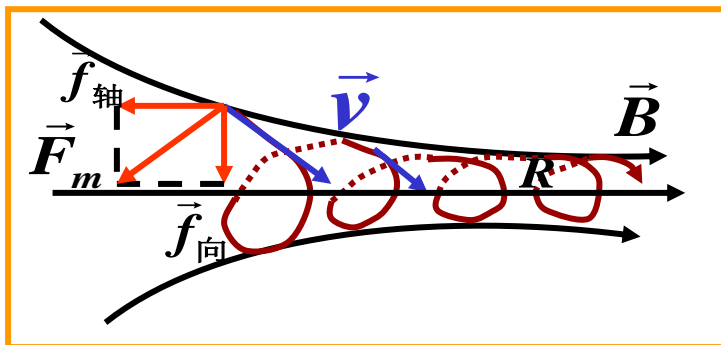
$$B \uparrow, R \downarrow$$

在强磁场中可以将离子约束在小范围。脱离器壁。

[例] 受控热核聚变 (磁约束、惯性约束)

惯性约束: 应用于激光核聚变。即依赖核燃料自身惯性来约束, 用高能脉冲激光激发核燃料 (氘、氚), 在其飞散前 ($\sim 10^{-10}\text{s}$) 完成热核反应。

纵向：非均匀磁场。

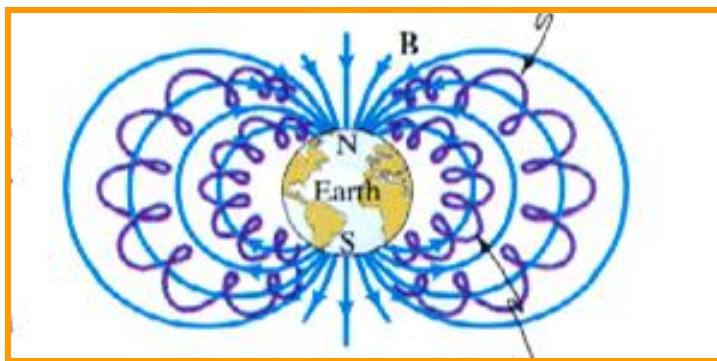
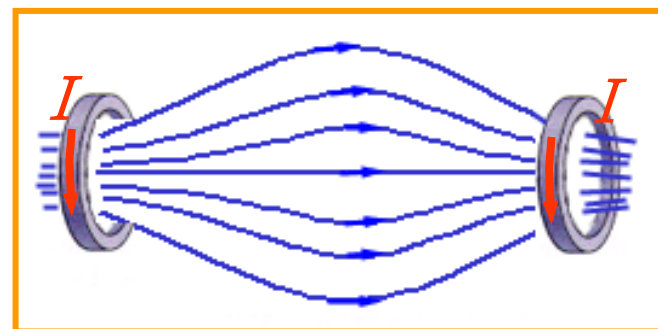


$$h = T v_{\parallel} = \frac{2\pi m v}{q B}$$

$$B \uparrow, h \downarrow, h \rightarrow 0$$

反射—磁镜

磁瓶：离子在两磁镜间振荡。

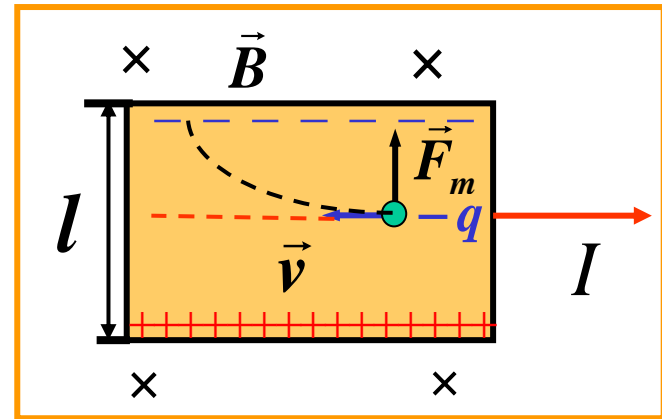
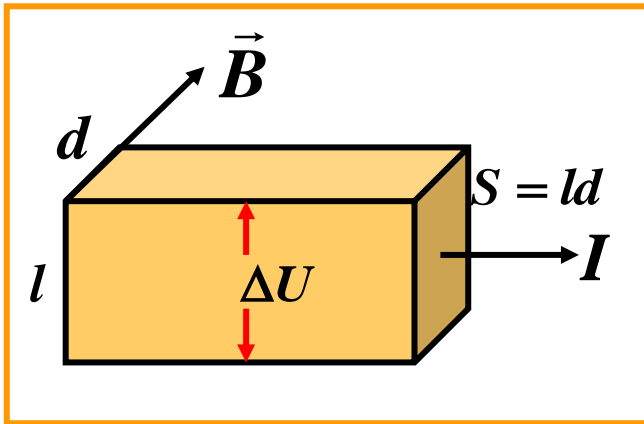


地磁场俘获宇宙射线中带电粒子形成内、外两层范艾伦辐射带

3. 霍尔效应（美国人霍尔1879年发现）

（1）现象：

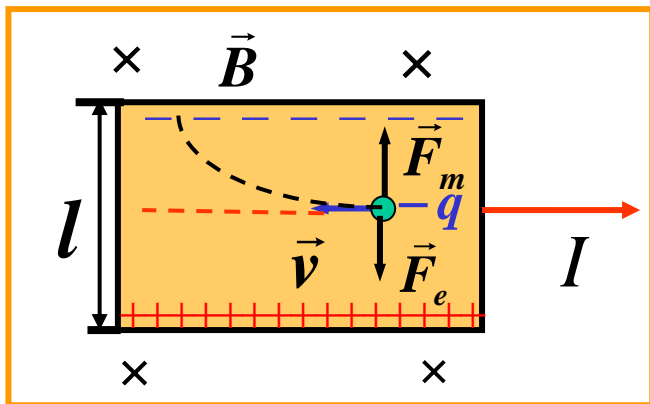
导体中通电流 I ，磁场 \vec{B} 垂直于 I ，在既垂直于 I ，又垂直于 \vec{B} 方向出现电势差 ΔU 。



（2）用电子论解释

载流子 $q = -e$ ，漂移速率 \vec{v}

$$\vec{F}_m = q\vec{v} \times \vec{B} = -e\vec{v} \times \vec{B} \quad \text{方向向上，形成 } \Delta U$$



$$F_e = qE = q \frac{\Delta U}{l}$$

平衡条件: $F_m = F_e$

$$qvB = q \frac{\Delta U}{l}$$

$$\Delta U = Blv$$

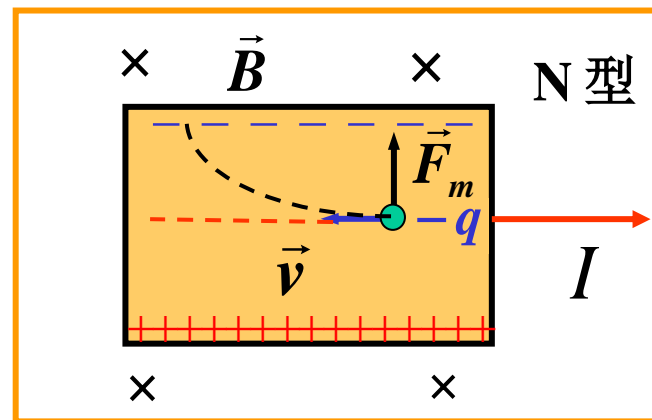
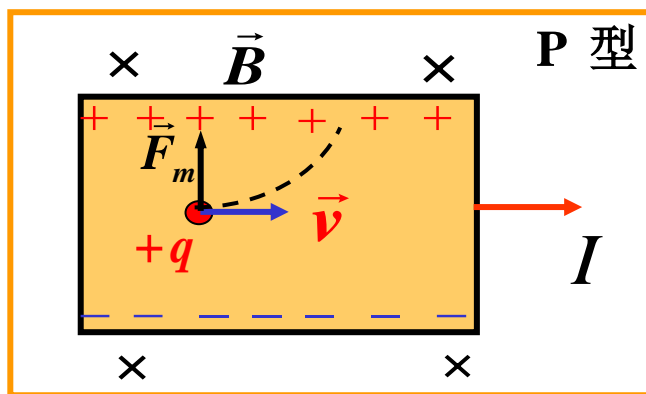
$$I = qv n S = qv n l d, \quad v = \frac{I}{qn l d}$$

$$\Delta U = Blv = Bl \frac{I}{qn l d} = \frac{1}{qn} \frac{BI}{d} = k \frac{BI}{d}$$

霍尔系数: $k = \frac{1}{qn}$ (金属导体 $k = -\frac{1}{en} < 0$)

(3) 应用:

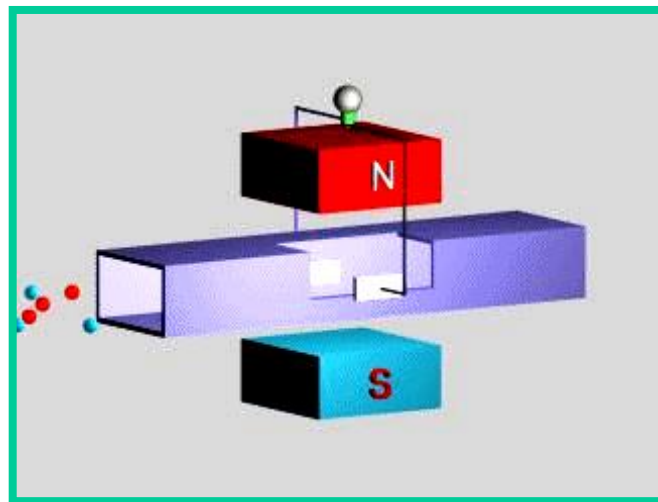
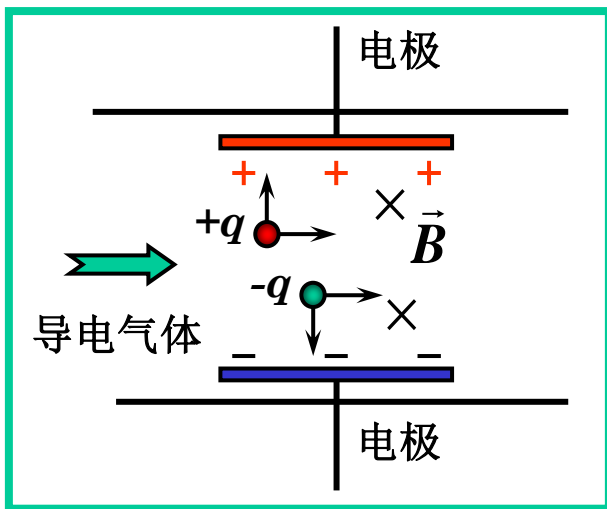
- 测载流子密度 $n = \frac{BI}{\Delta U \cdot q \cdot d}$
- 测载流子电性 — 半导体类型



- 测磁场 \vec{B} (霍尔元件)
- 磁流体发电

磁流体发电

把燃料加热而产生的高温（约3000K）等离子体，以高速（约1000 m/s）通过用耐高温材料制成的导管，如在垂直于气体运动的方向加上磁场，则气流中的正、负离子由于受洛仑兹力的作用，将分别向两个相反方向偏转，结果在导管两个电极上产生电势差。如果不断提供高温、高速的等离子气体，便能连续产生电能。



小 结

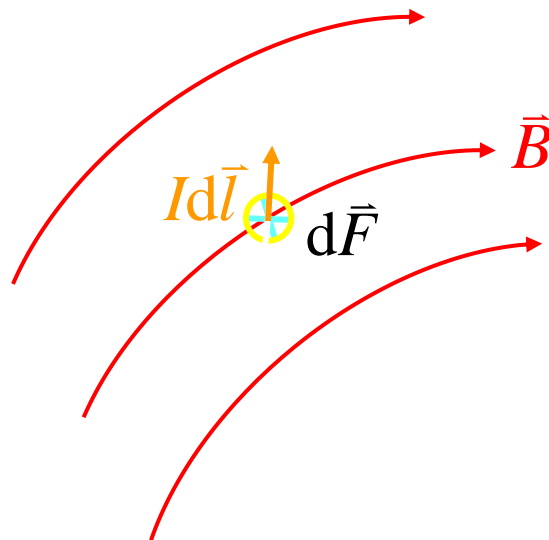
1、 磁场对电流的作用

(1) 安培力

$$d\vec{F} = Id\vec{l} \times \vec{B}$$

大小: $dF = IdlB \sin \theta$

方向: $Id\vec{l} \times \vec{B}$



(2) 匀强磁场对平面载流线圈的作用

合力: $\sum \vec{F} = 0$

磁力矩: $\vec{M} = \vec{m} \times \vec{B}$, $\vec{m} = IS\hat{e}_n$ (磁矩)

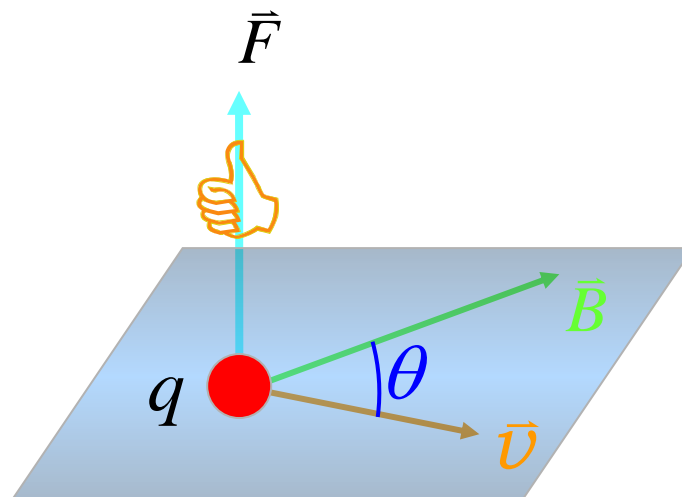
(3) 磁力的功

$$A = \int_{\varphi_{m1}}^{\varphi_{m2}} I d\varphi_m = I \Delta\varphi_m$$

2、 磁场对运动电荷的作用

(1) 磁场对运动电荷的作用

洛伦兹力 $\vec{F} = q\vec{v} \times \vec{B}$



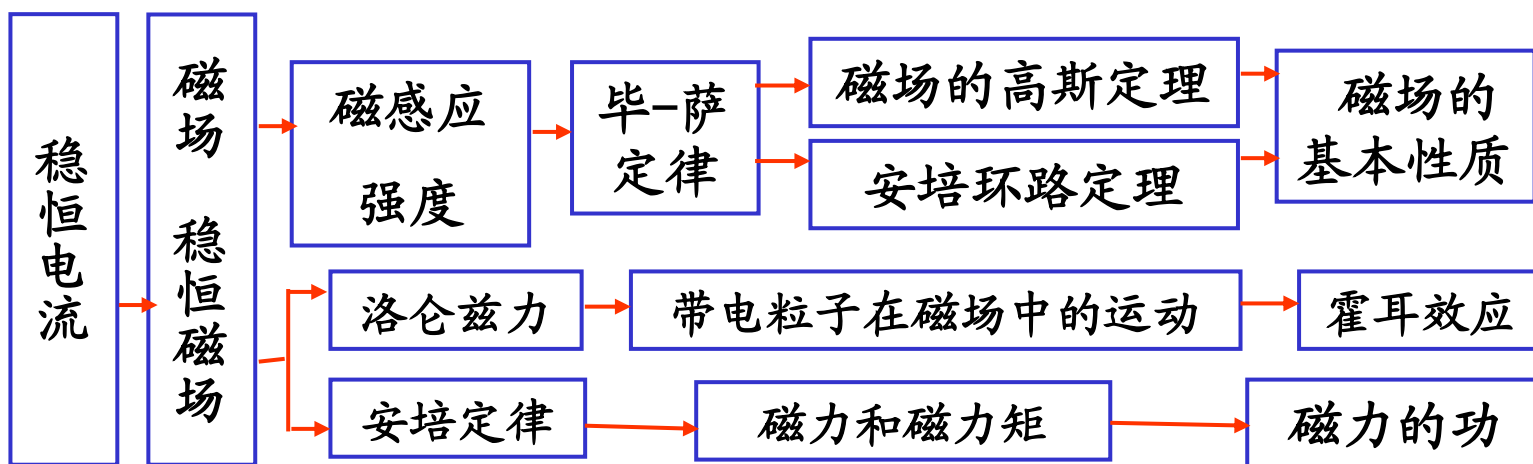
洛伦兹力始终与电荷运动方向垂直，对电荷不作功。

(2) 霍耳效应

霍耳电压 $U_{ab} = R_H \frac{IB}{d}$

霍耳系数 $R_H = \frac{1}{nq}$

结构框图



重点

基本概念： 稳恒电流 磁感应强度，磁通量，电流磁矩

基本规律： 磁场叠加原理， 毕 - 萨 - 拉定律及其应用，
稳恒磁场高斯定理和环路定理，
磁场的基本性质（无源场、涡旋场）

基本计算： 稳恒磁场 \vec{B} 分布，洛仑兹力，安培力，磁力矩

难点

运动电荷之间的相互作用